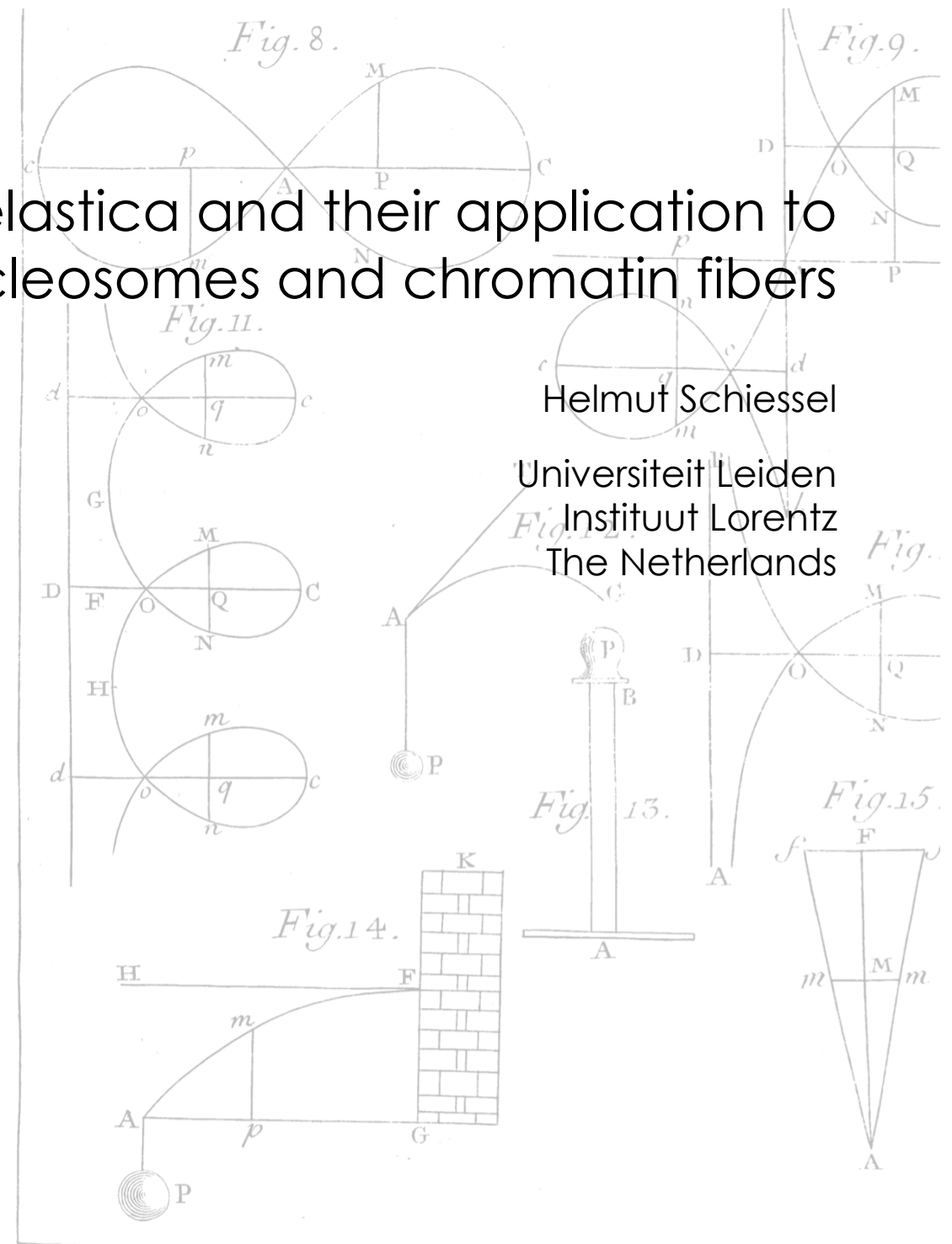
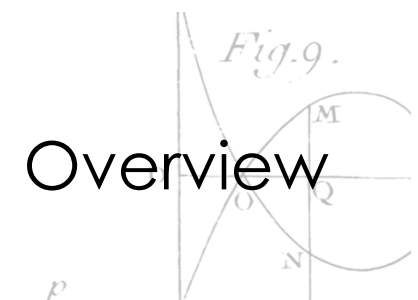
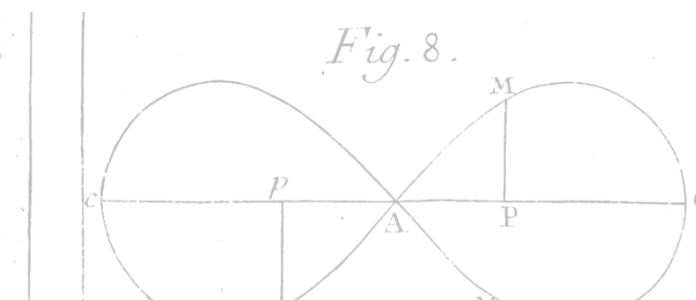
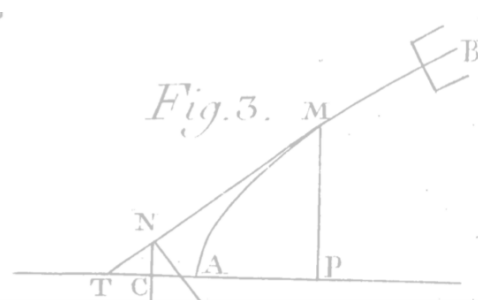
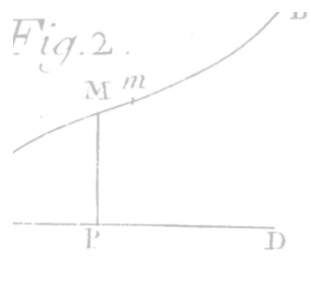
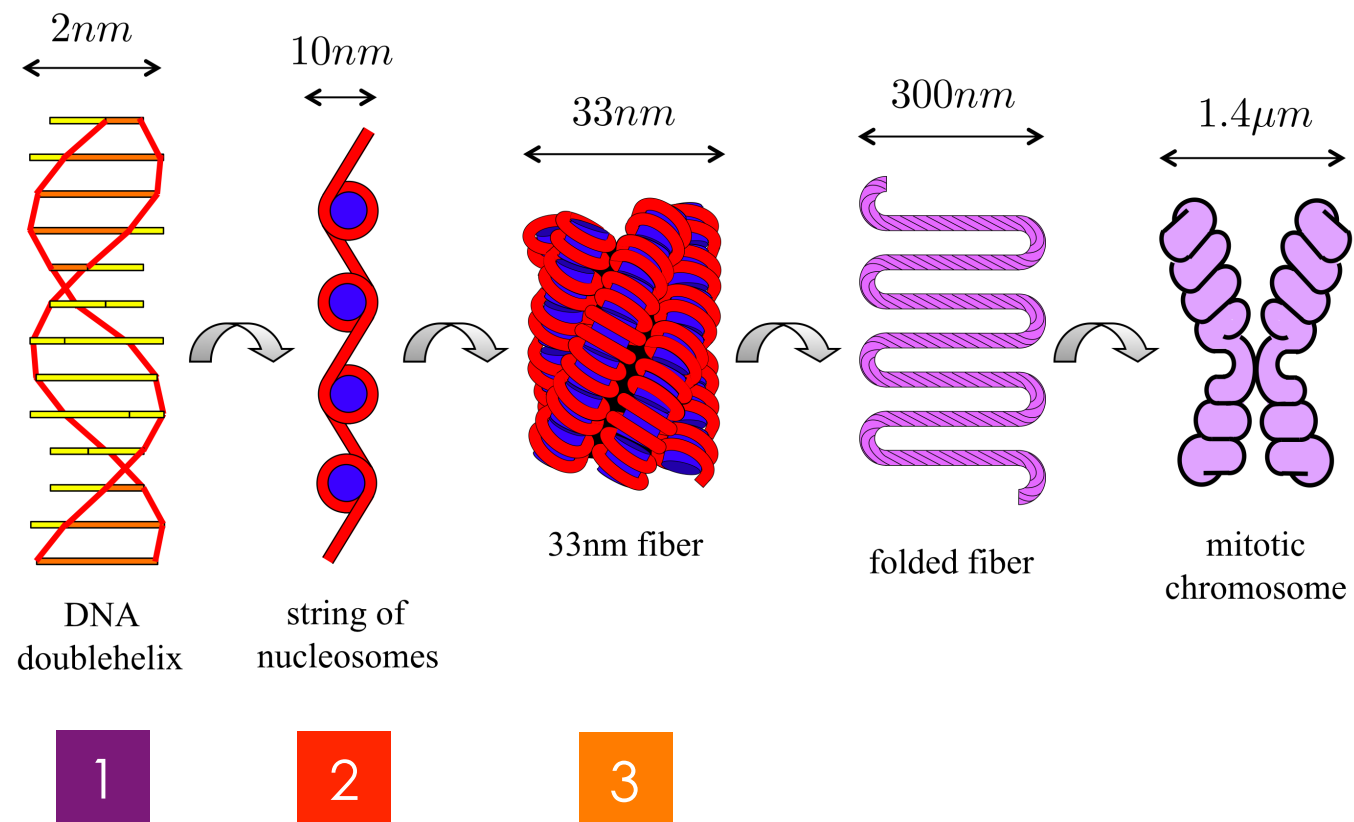


Euler's elastica and their application to DNA, nucleosomes and chromatin fibers





Overview



INTRODUCTION

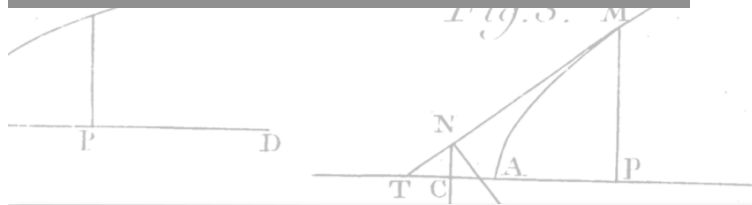


Fig. 8.

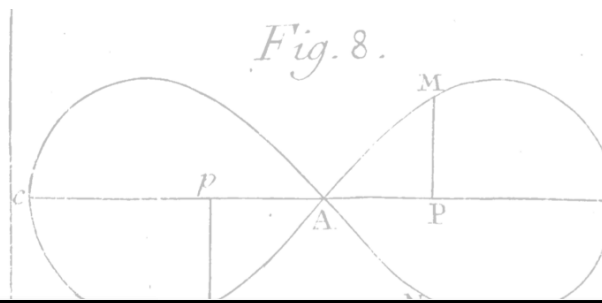


Fig. 8.

Galileo Galilei

1564-1642

Fig. 9.

Discorsi, 1638:

DISCORSI
E
DIMOSTRAZIONI
MATEMATICHE,
intorno à due nuoue scienze

Attenenti alla
MECANICA & i MOVIMENTI LOCALI,

del Signor

GALILEO GALILEI LINCEO,
Filosofo e Matematico primario del Serenissimo
Grand Duca di Toscana.

Con una Appendice del centro di granità d'alcuni Solidi.



IN LEIDA,
Appresso gli Elzeviti. M. D. C. XXXVIII.

DIALOGO SECONDO
114 fin qui dichiarate, non sarà difficile l'intender la ragione, onde avenga, che un Prismo, o Cilindro solido di vetro, acciaio, legno, o altra materia frangibile, che falso per lungo solterrà gravissimo peso, che gli sia attaccato, mà in traverfa (come poco fa dicemmo) da minor peso assai potrà tal volta essere spezzato, secondo che la sua lunghezza eccederà la sua grossezza. Imperò che figuriamoci il Prismo solido A B, C D fisso in un muro della parte A B, e nell'altra estremità s'intenda la forza del Peso z. (intendendo sempre il muro esser eretto all'Oriente, & il Prismo, o Cilindro fisso nel muro ad angoli retti) è manifesto che douendosi spezzare si romperà nel luogo b, dove il taglio del muro ferue per se legno, e la z c per la parte della Lenza, dove si pone la forza, e la grossezza del solido b A e l'altra parte della Lenza, nella quale è posta la resistenza, che consiste nello sfaccamento, che s'ha da fare della parte del solido b D, che è

fuor del muro, da quella che è dentro, e per le cose dichiarate il momento della forza posta in c al momento della resistenza che stà nella



INTRODUCTION

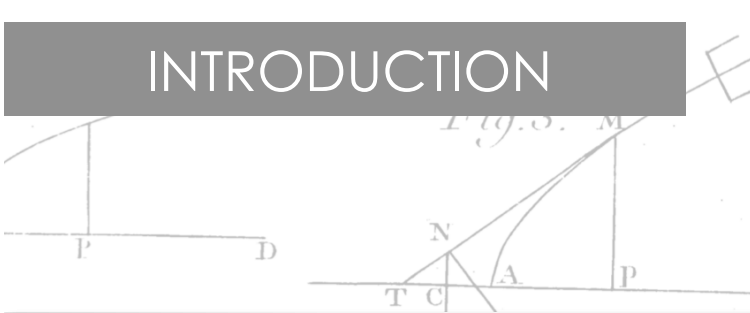
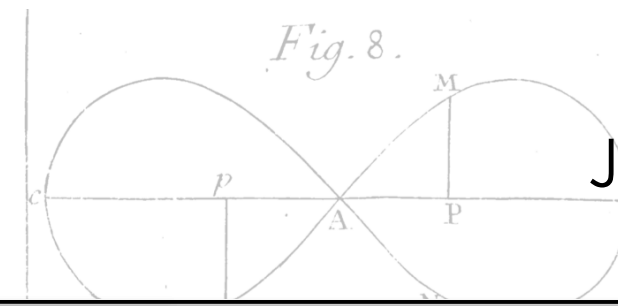
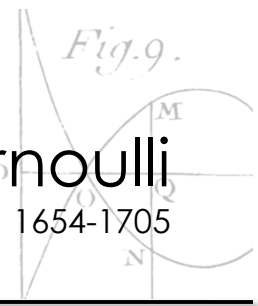


Fig. 8.

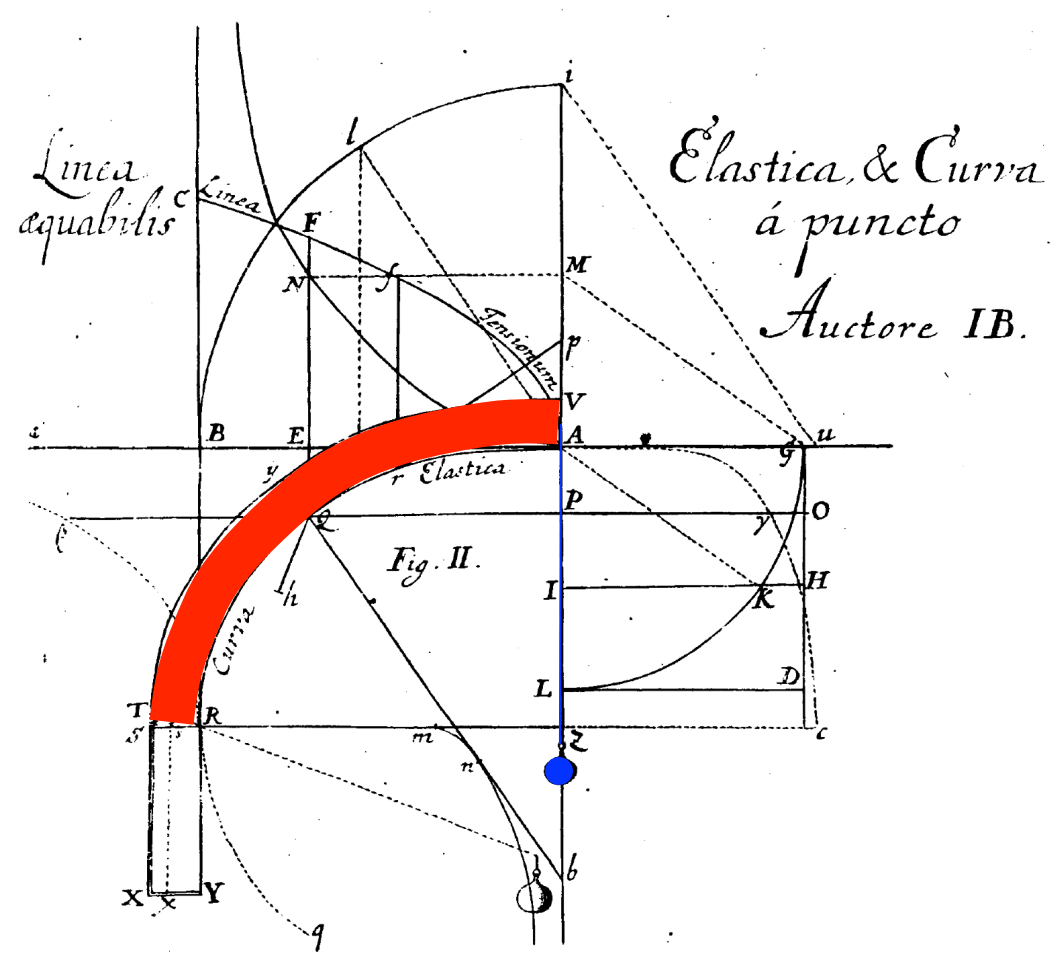


Jacob Bernoulli

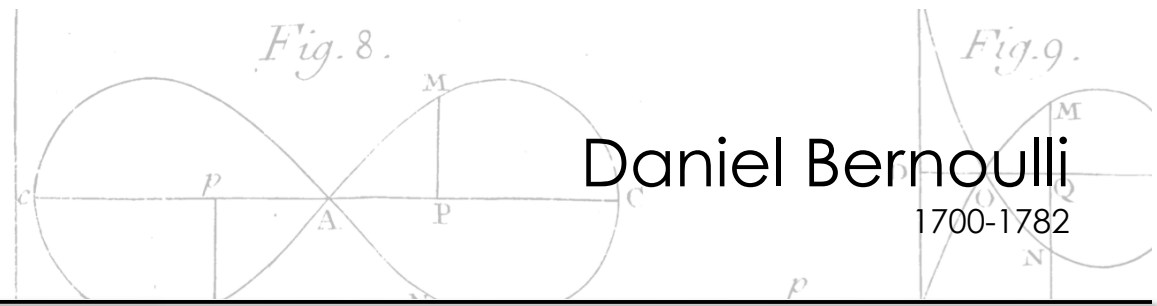
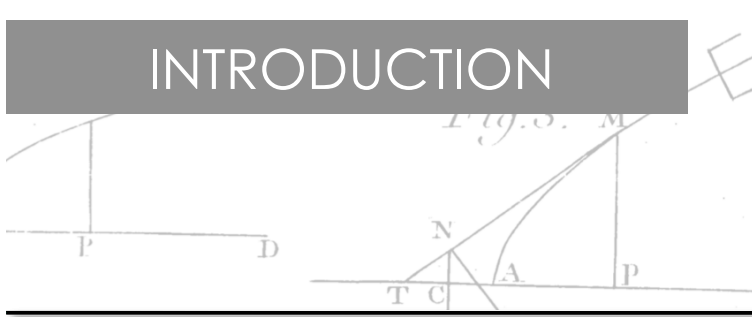
1654-1705



Curvatura Laminae Elasticae, 1694:

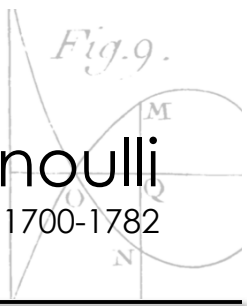


INTRODUCTION



Daniel Bernoulli

1700-1782



Letter to Euler, October 1742:

I'd like to know whether you might not solve the curvature of the elastic lamina under this condition, that on the length of the lamina on two points the position is fixed, and that the tangents at these points are given.

[...]

I'd express the potential energy of a curved elastic lamina (which is straight when in its natural position) through $\int \frac{ds}{RR}$, assuming the element ds is constant and indicating the radius of curvature by R . There is nobody as perfect as you for easily solving the problem....

INTRODUCTION

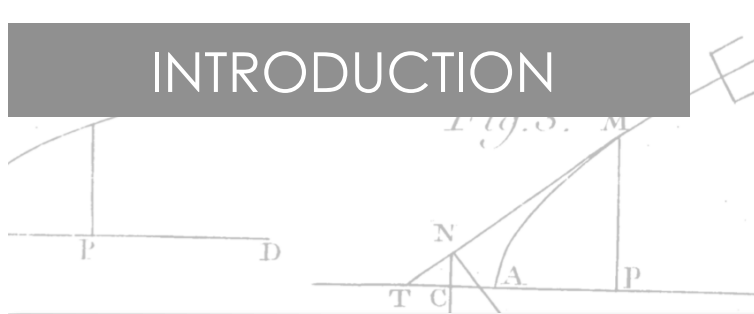


Fig. 8.

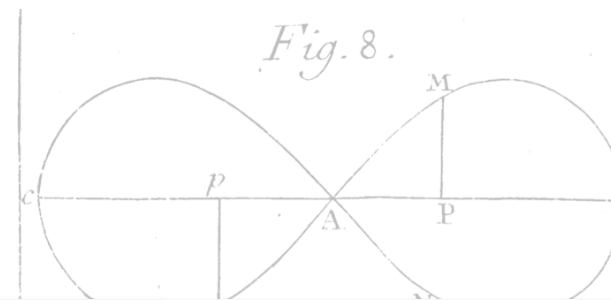
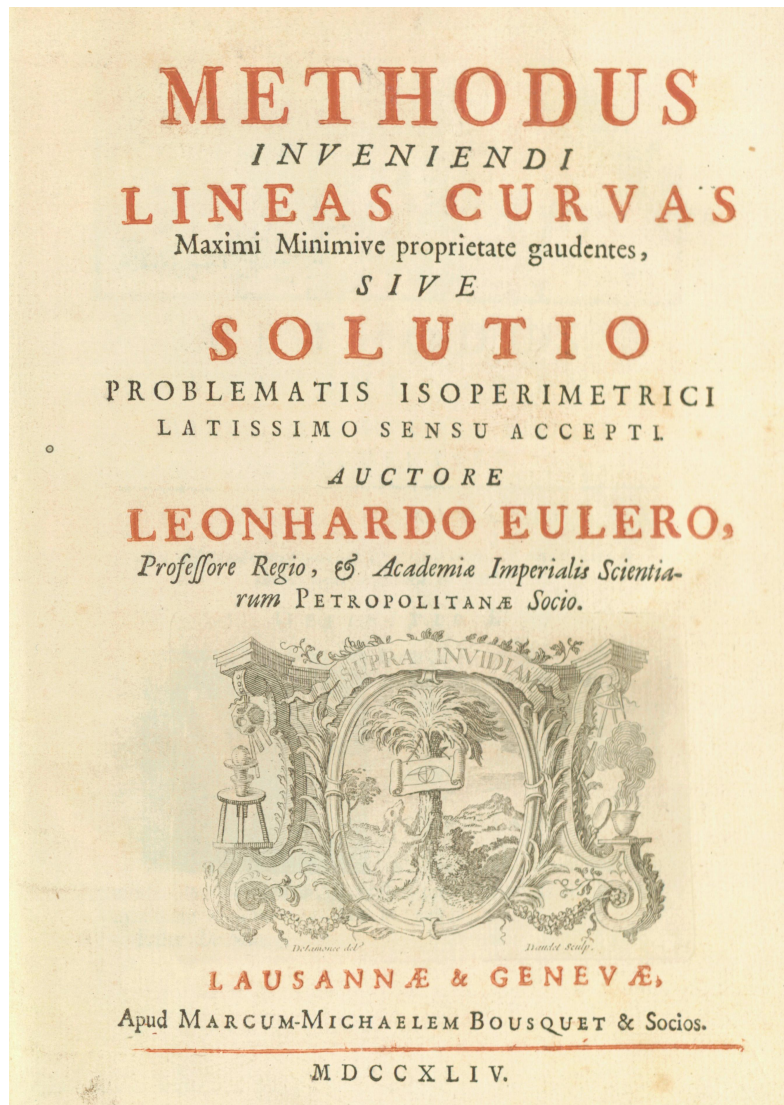


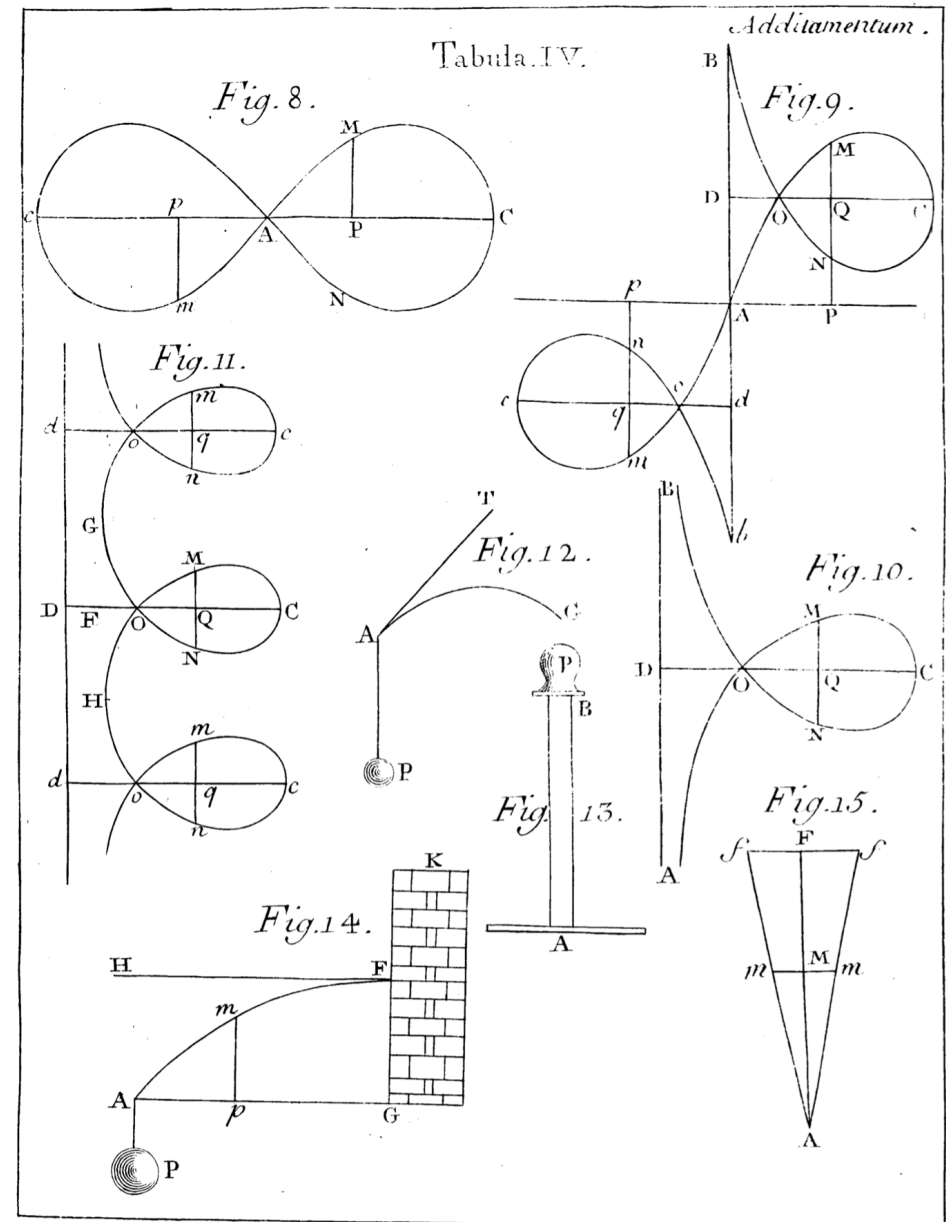
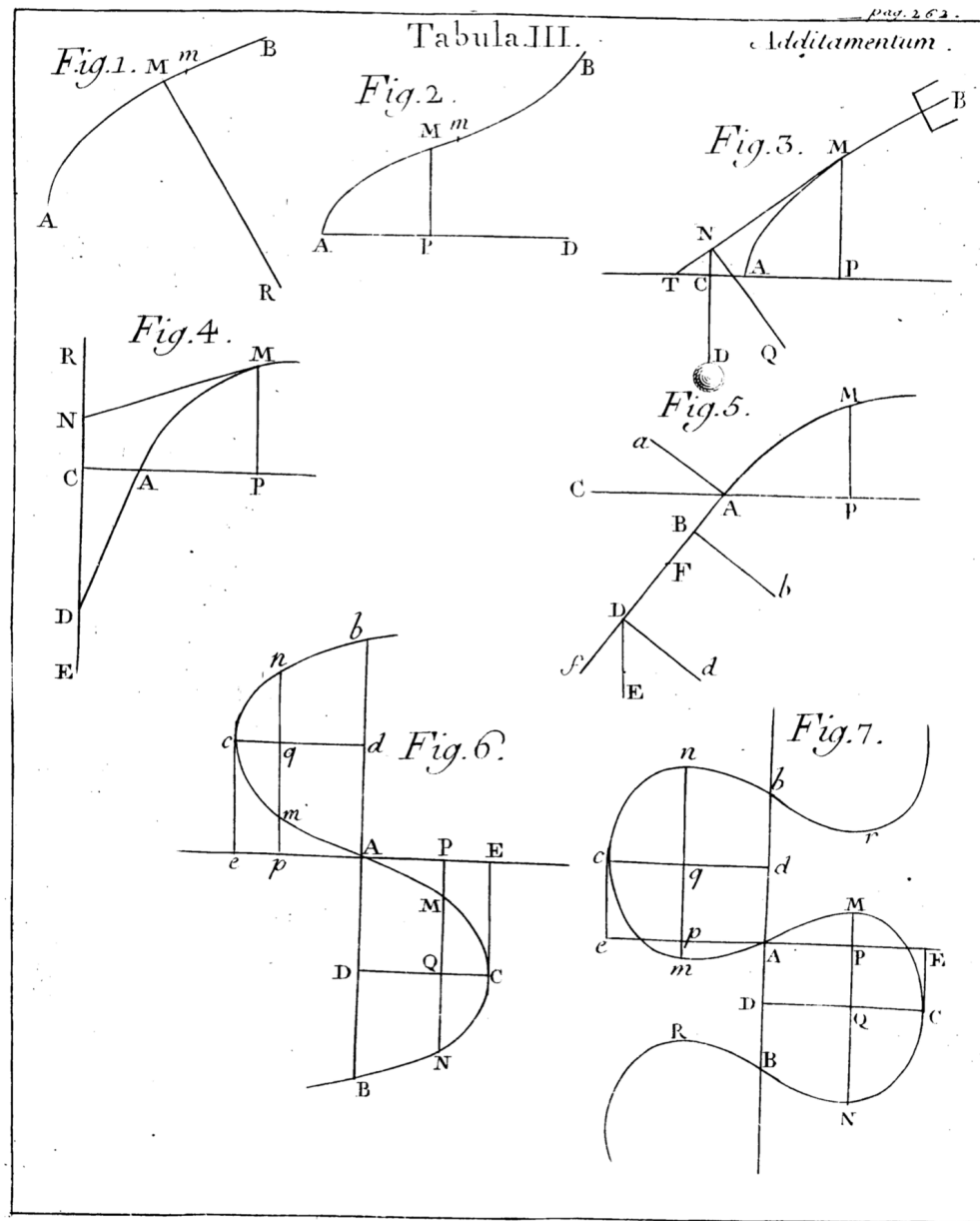
Fig. 9.

Leonard Euler

1707-1793

Euler, 1744:





INTRODUCTION

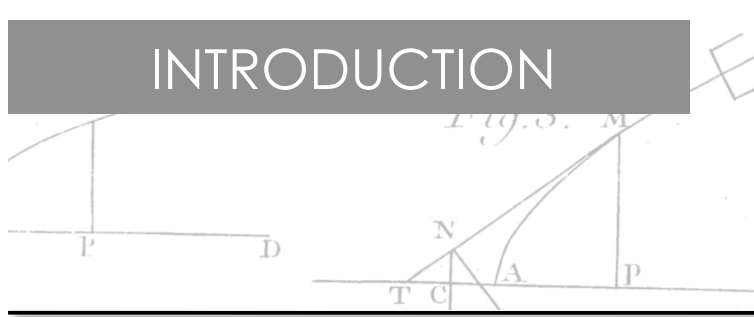
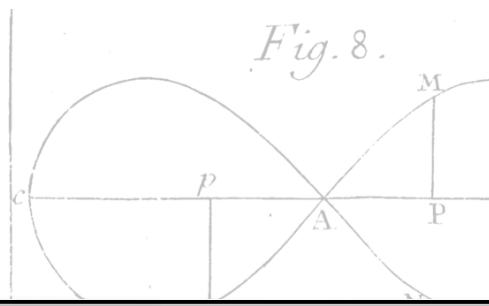


Fig. 8.



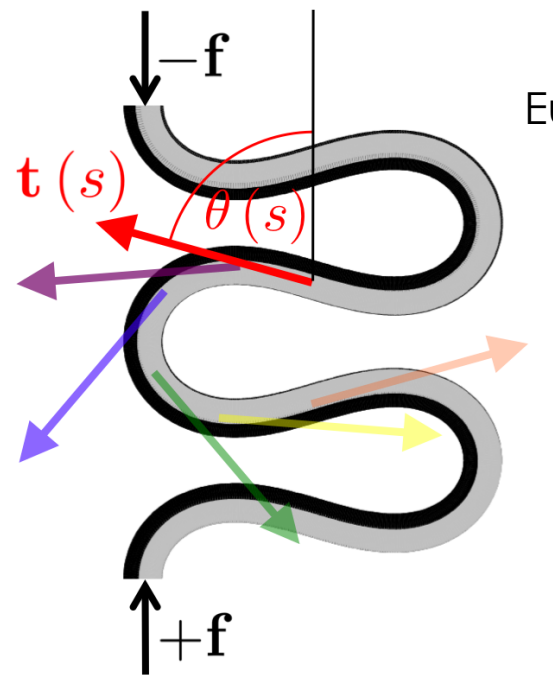
Gustav Kirchhoff

1824-1887

Fig. 9.

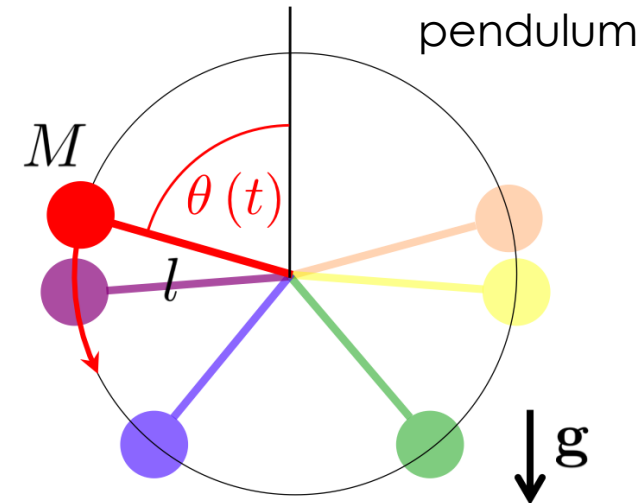


Kirchhoff kinetic analogy (1859):



Euler elastica

↔ 1 : 1



pendulum

Hamiltonian (wormlike chain model):

$$H = \int_0^L ds \left[\frac{A}{2} \dot{\theta}^2 - f \cos \theta \right]$$

Lagrangian action:

$$S = \int_0^T d\tau \left[\frac{Ml^2}{2} \dot{\theta}^2 - Mgl \cos \theta \right]$$

INTRODUCTION

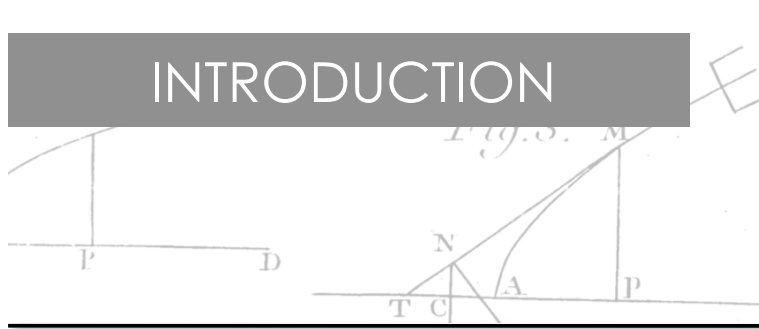
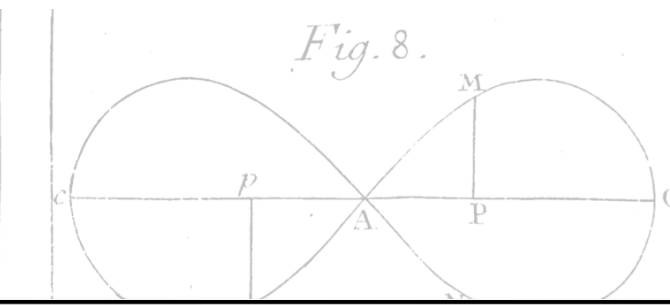
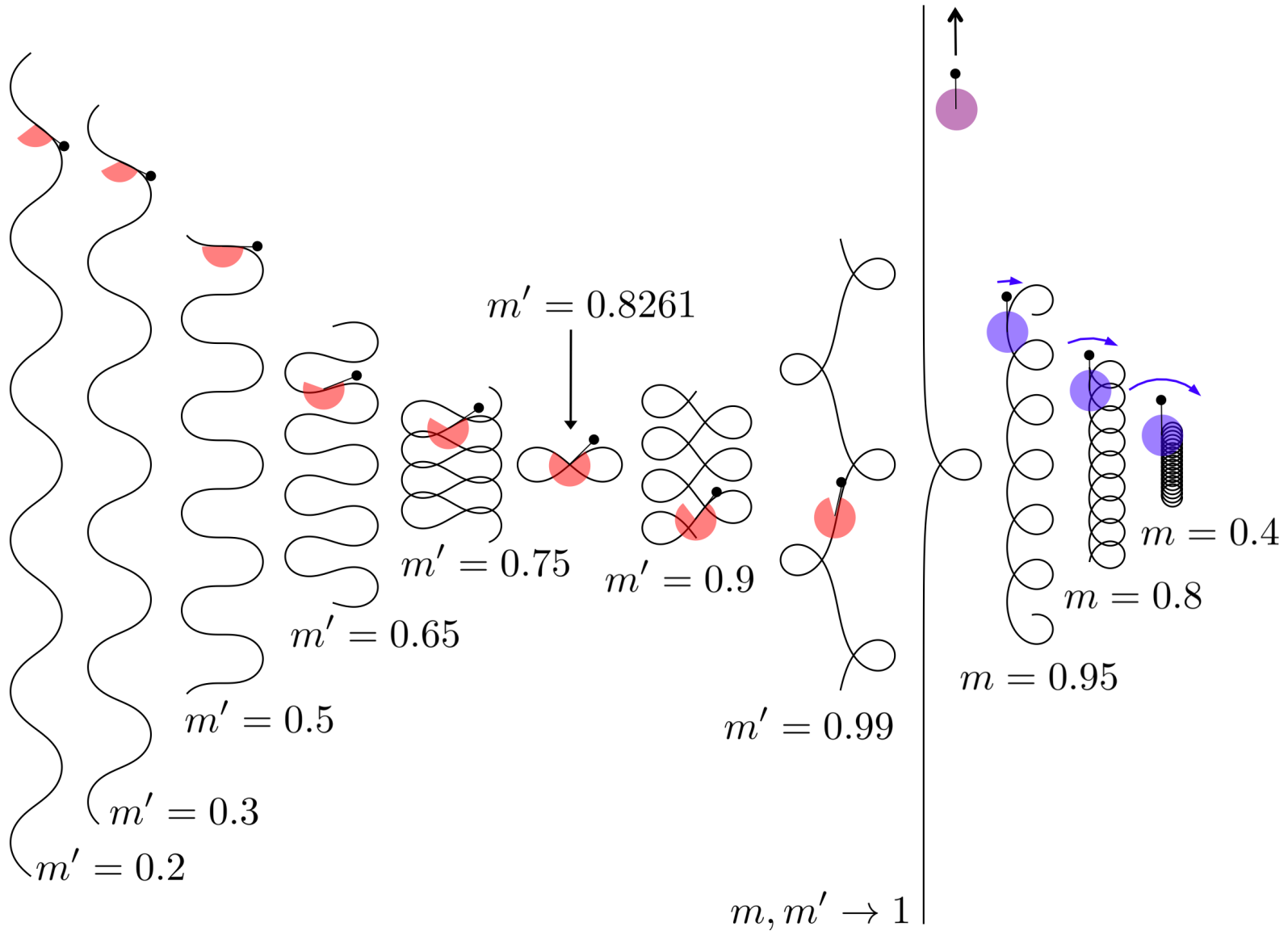
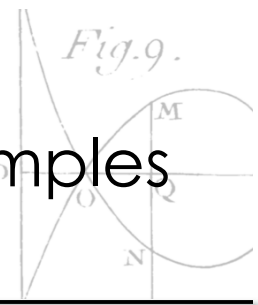


Fig. 8.



Examples



INTRODUCTION

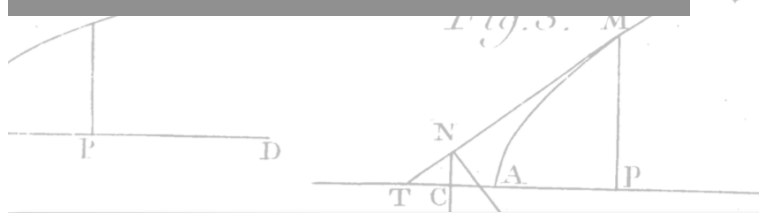


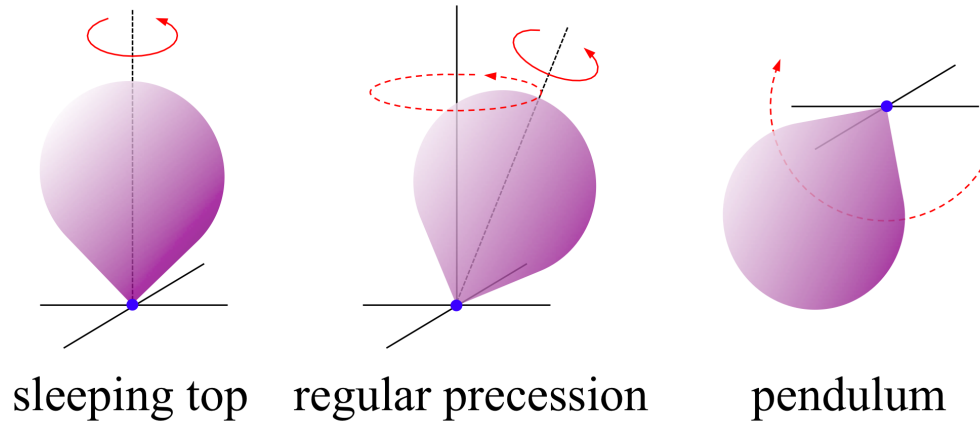
Fig. 8.

Full kinetic analogy

Kirchhoff, J. Reine Angew. Math **56** (1859) 285-313



Fig. 9.



sleeping top

regular precession

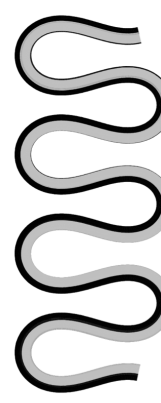
pendulum



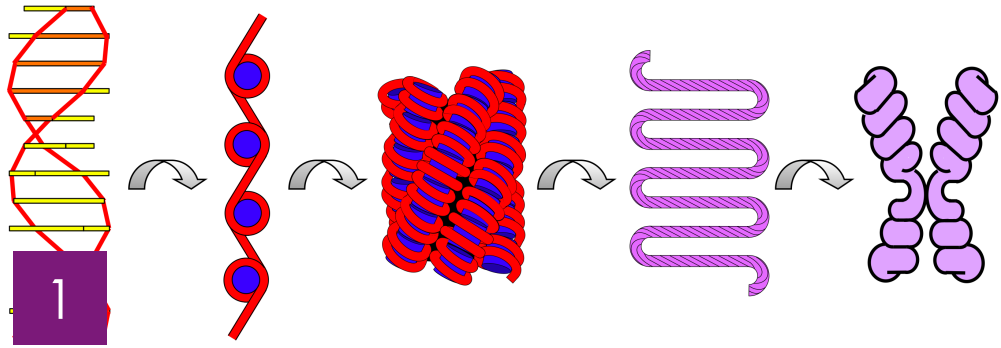
twisted rod



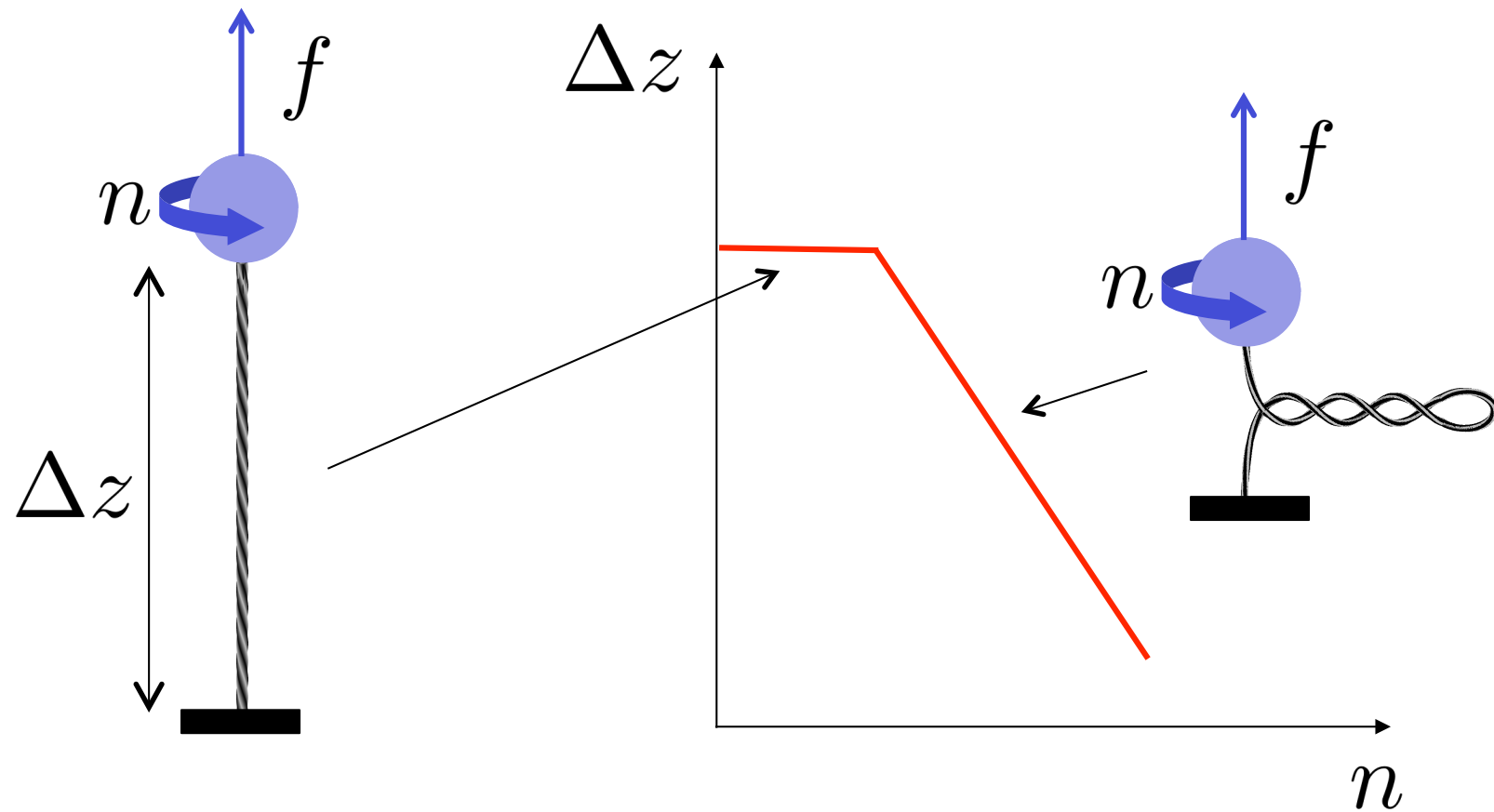
helix



planar filament



Twisting DNA under tension



Theories: Marko, Phys. Rev. E **76** (2007) 021926

Clauvelin, Audoly & Neukirch, Biophys. J. **96** (2009) 3716

Maffeo, Schopflin, Brutzer, Stehr, Aksimentiev, Wedemann & Seidel, PRL 105, 158101

1

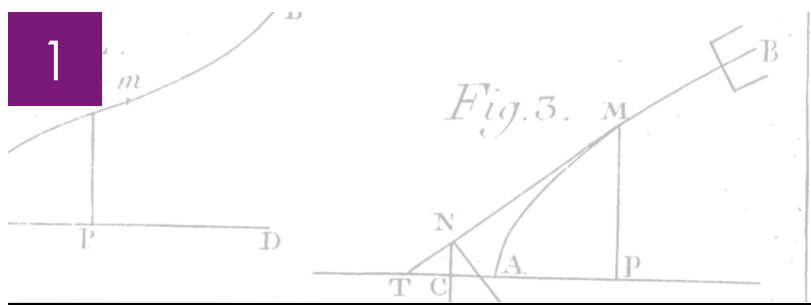
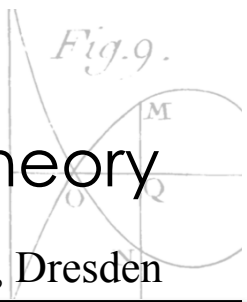
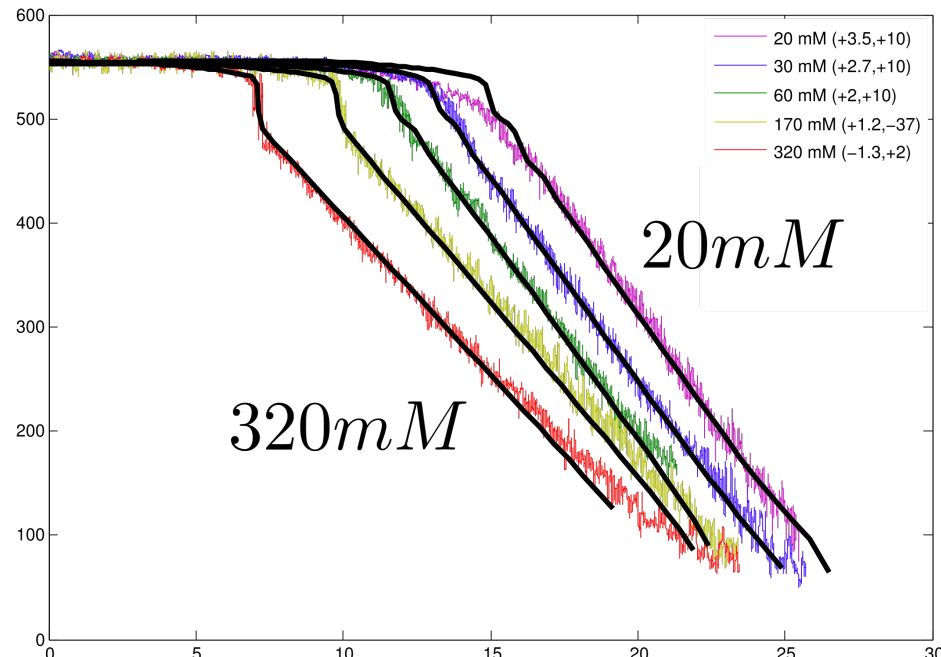


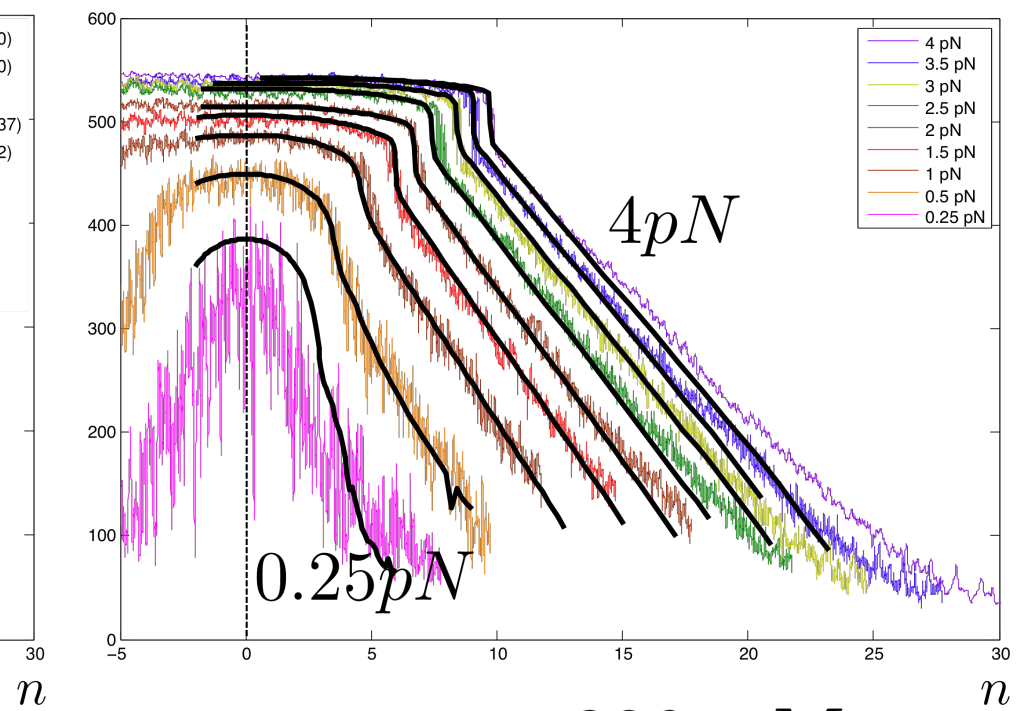
Fig. 8.

Comparison experiment/theory

Ralf Seidel lab, Dresden

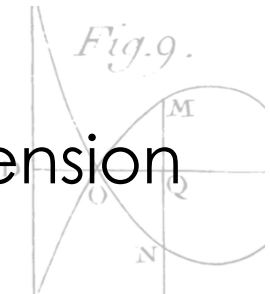
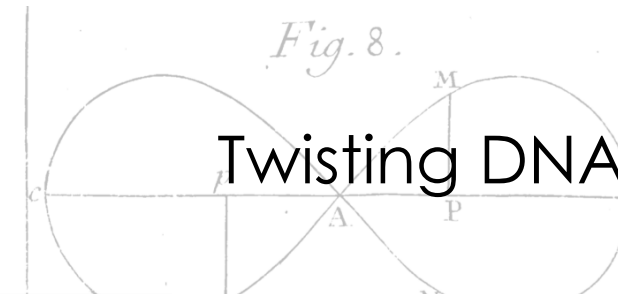
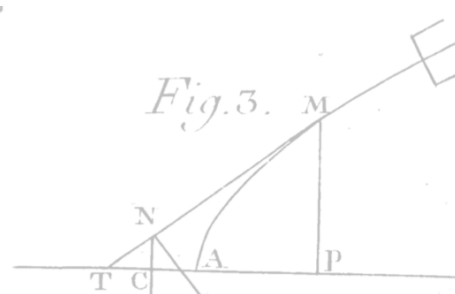
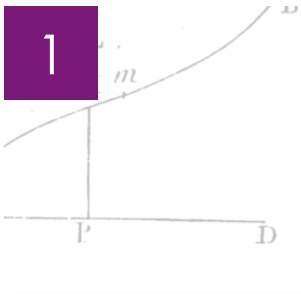
 $\Delta z [nm]$ 

$$f = 3 \text{ pN}$$

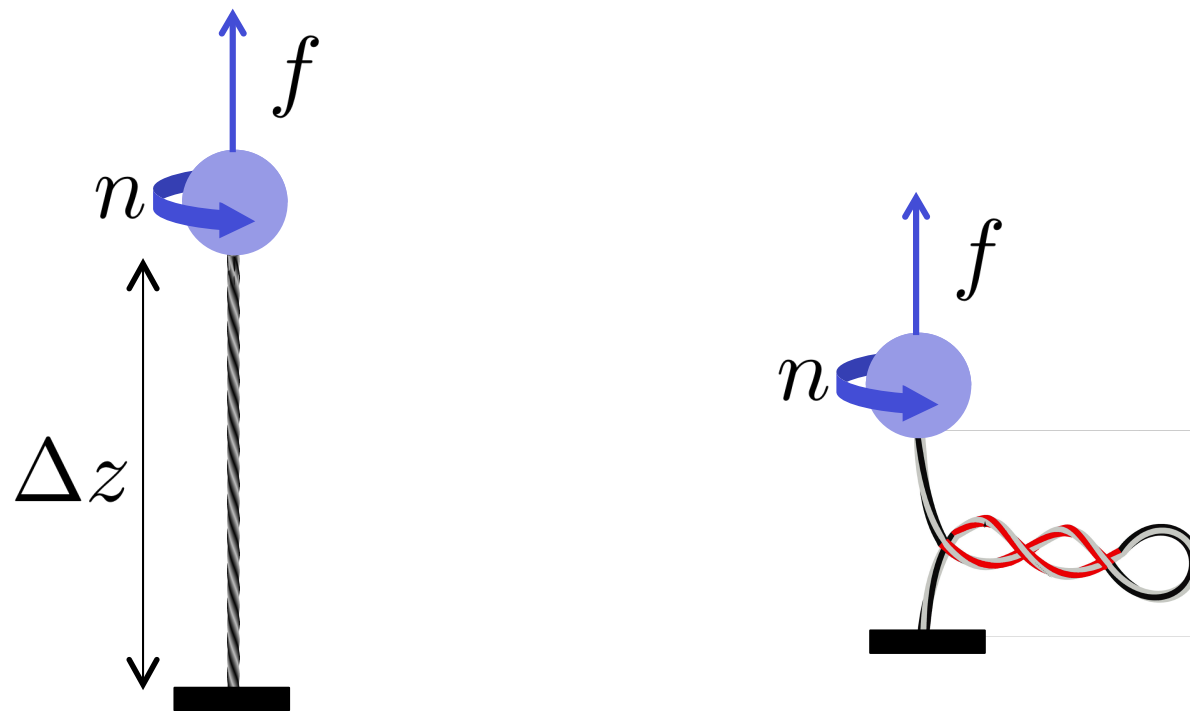
 $\Delta z [nm]$ 

$$c_s = 320 \text{ mM}$$

$$L = 600 \text{ nm}$$



Twisting DNA under tension



total energy:

$$E_{\text{tot}} = \underbrace{\frac{A}{2} \int_0^L \frac{ds}{R^2(s)}}_{\text{DNA bending}} + \underbrace{\frac{C}{2} \int_0^L \Delta\psi^2(s) ds}_{\text{DNA twisting}} - \underbrace{f \Delta z}_{\text{external force}} - \underbrace{2\pi n([\mathbf{t}, \Delta\psi]) \tau_f}_{\text{external twist}} + \underbrace{U_{\text{el}}([\mathbf{t}])}_{\text{electrostatic contribution}}$$

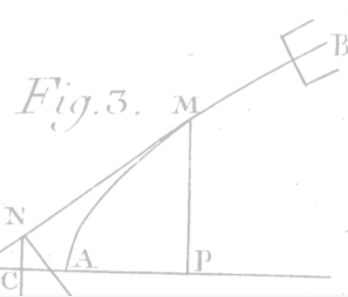
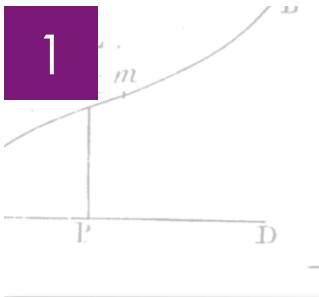
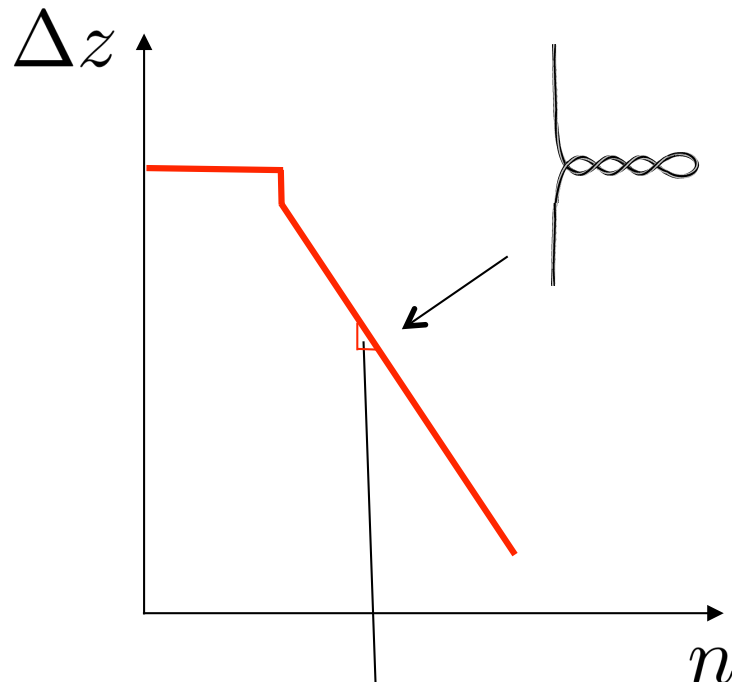
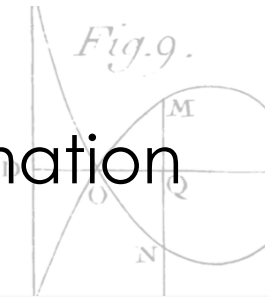


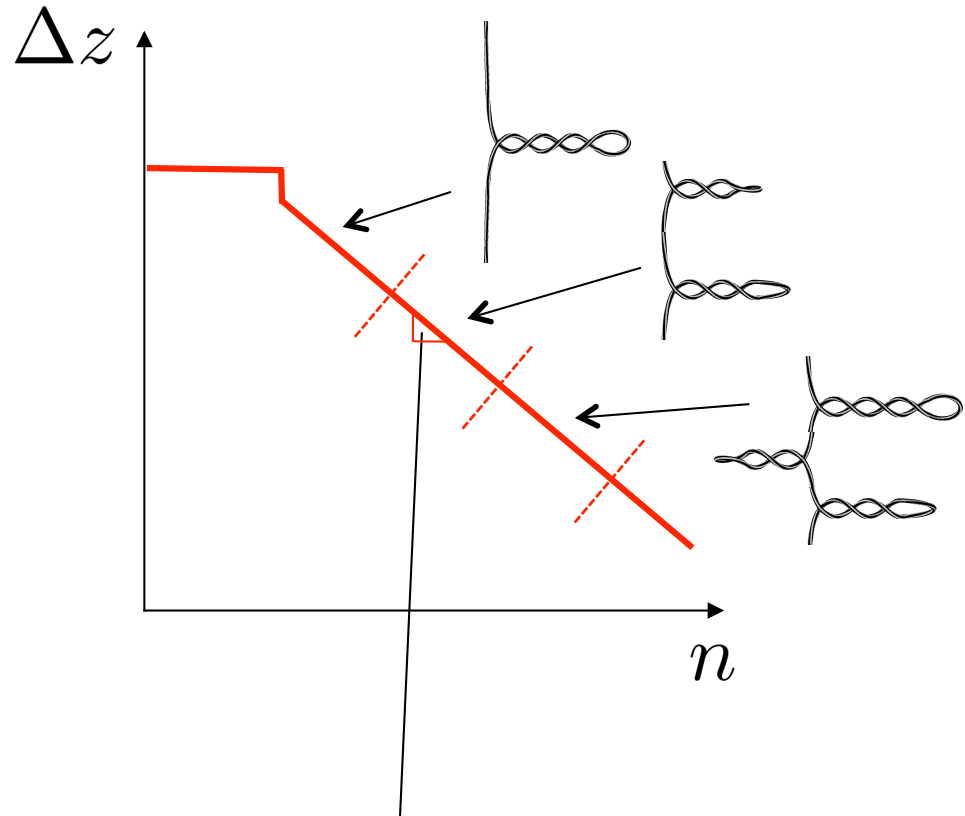
Fig. 8.

Multiplectoneme formation



slope:

$$\frac{\partial \Delta z}{\partial n} = -\frac{\rho}{\rho_{pl} wr}$$



$$\frac{\partial \Delta z}{\partial n} = -\frac{\rho}{\rho_{pl} wr} + \frac{\partial m}{\partial n} \left(\frac{\rho}{\rho_{pl} wr} - l_{loop} \right)$$

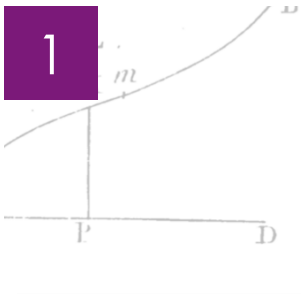


Fig. 3.

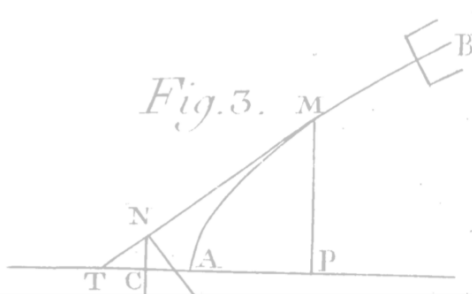
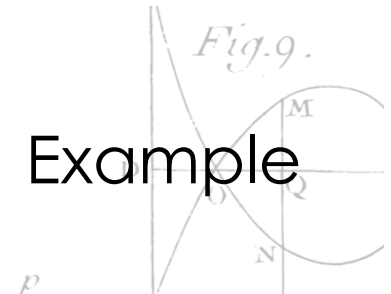
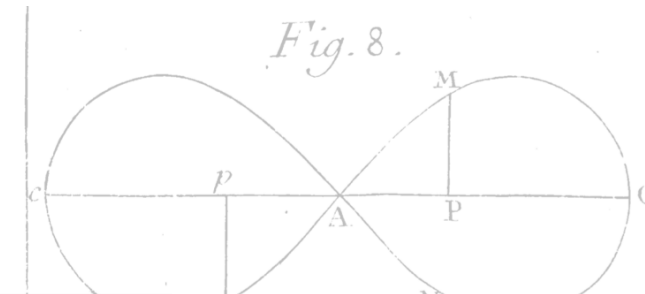
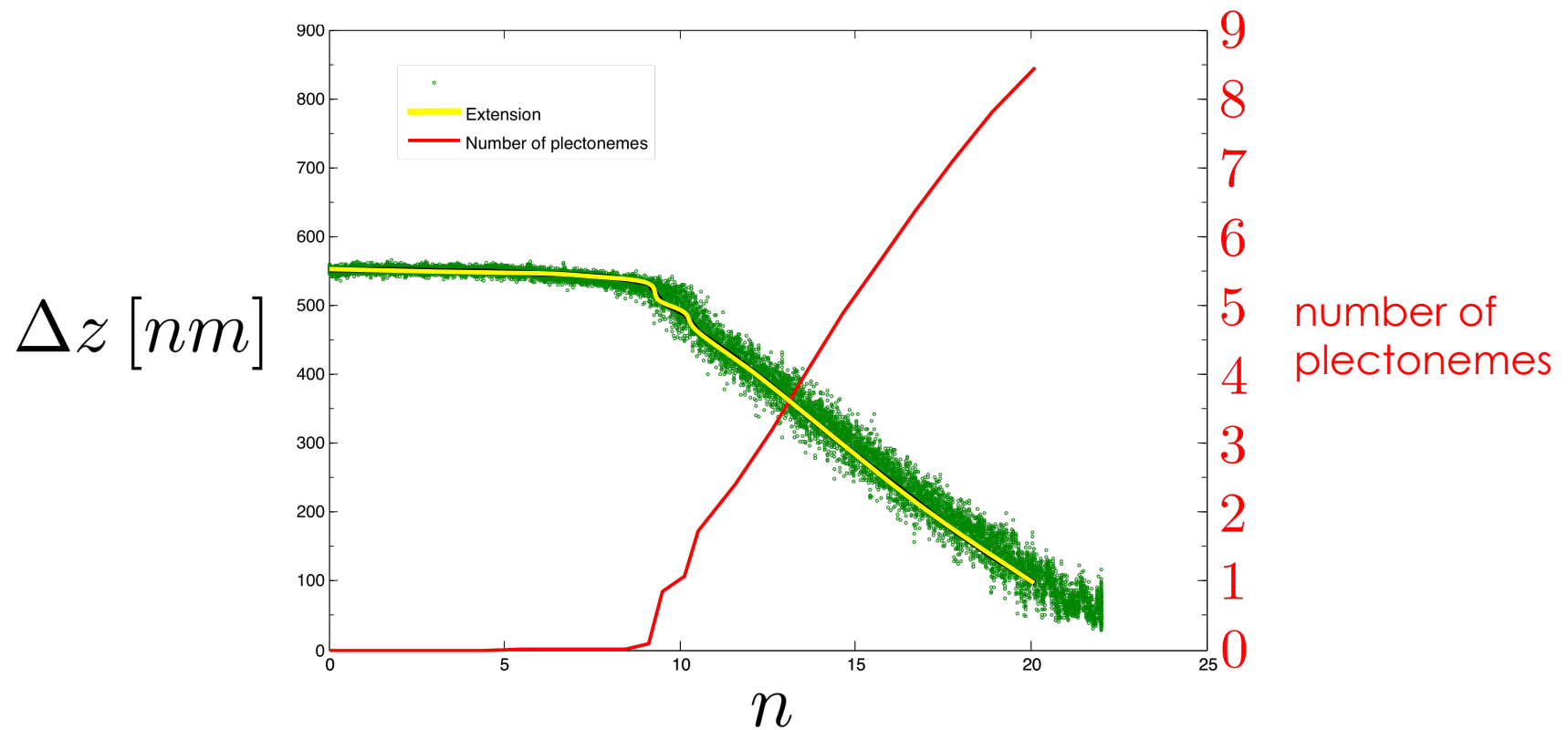


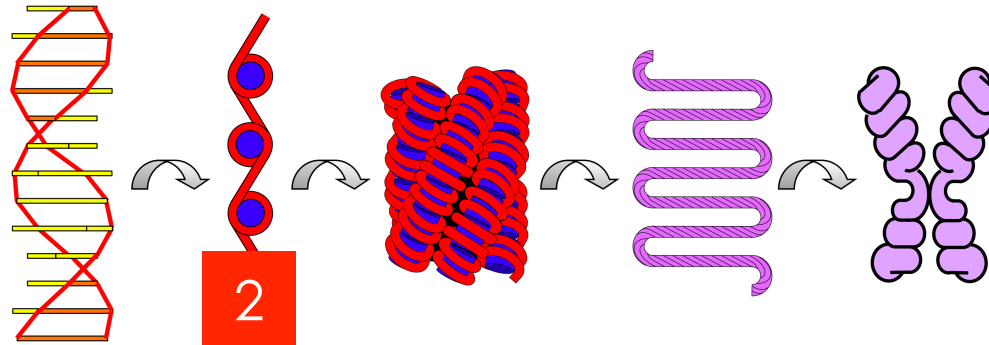
Fig. 8.



Example

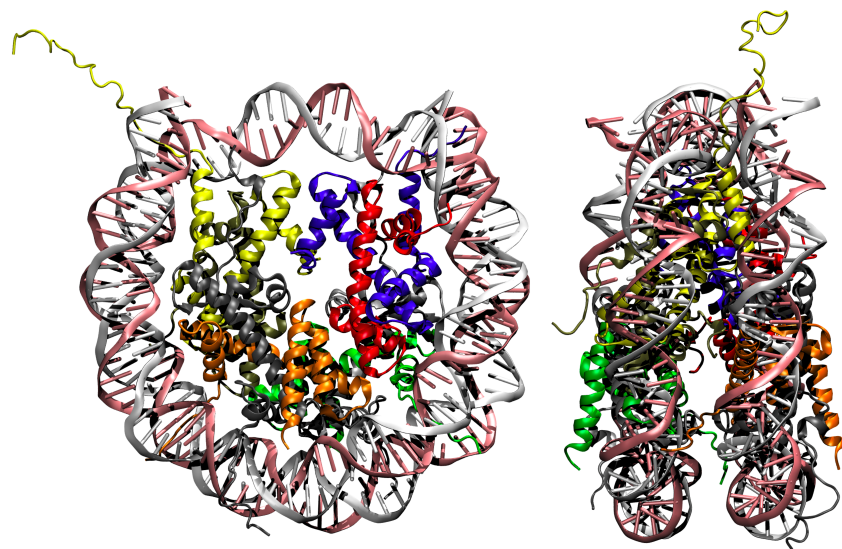
$$L = 600nm \quad f = 3pN \quad c_s = 30mM$$





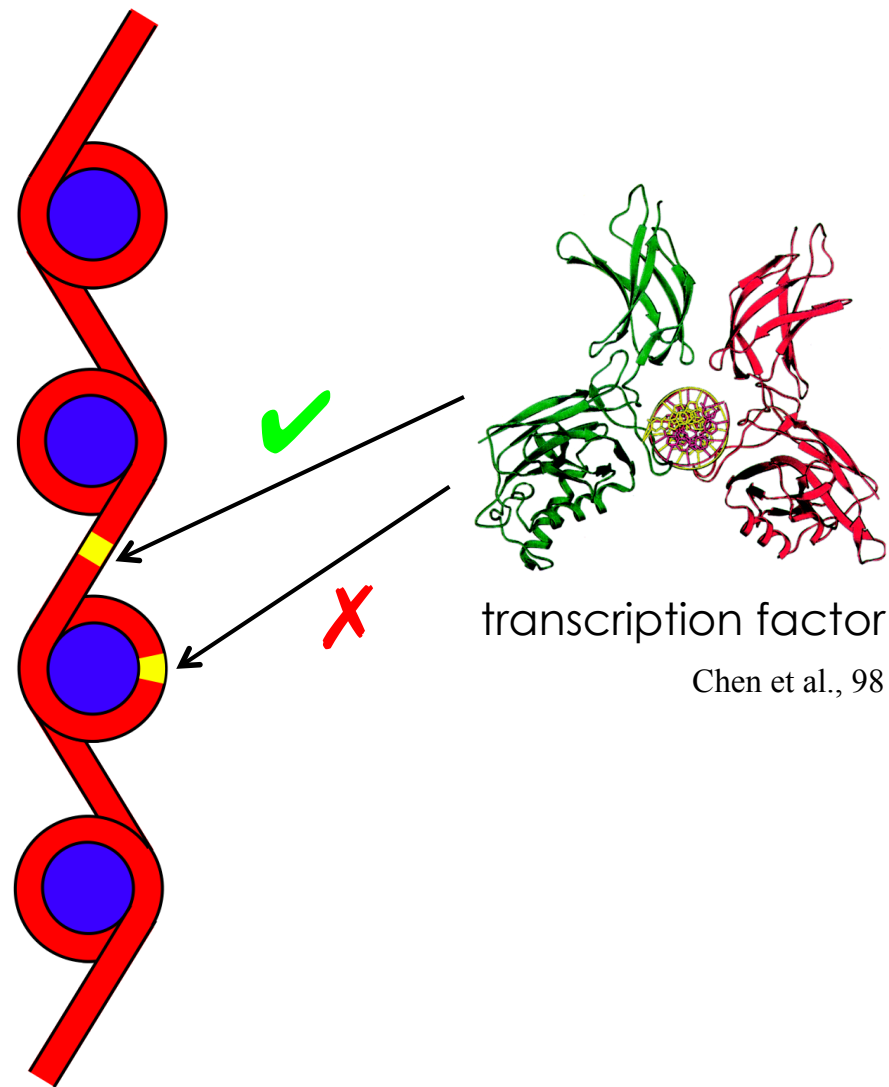
Nucleosomes under tension

nucleosome core particle:



Luger et al., 97

- $1 \frac{3}{4}$ turns
- 147 bp, 50nm
- 14 binding sites



2

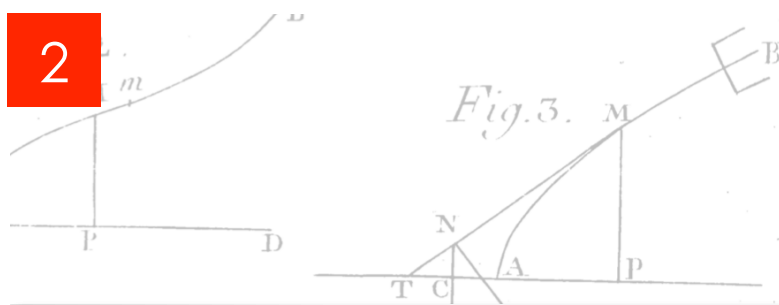


Fig. 2.

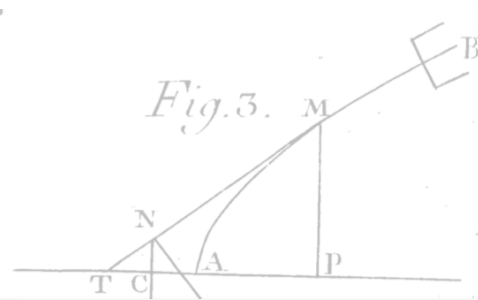
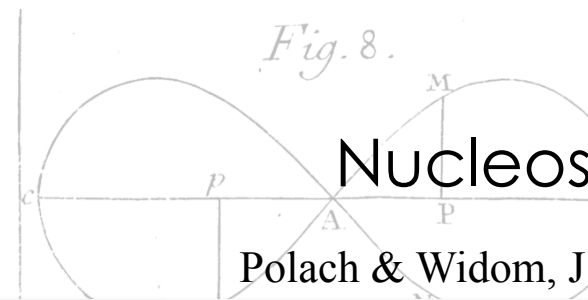
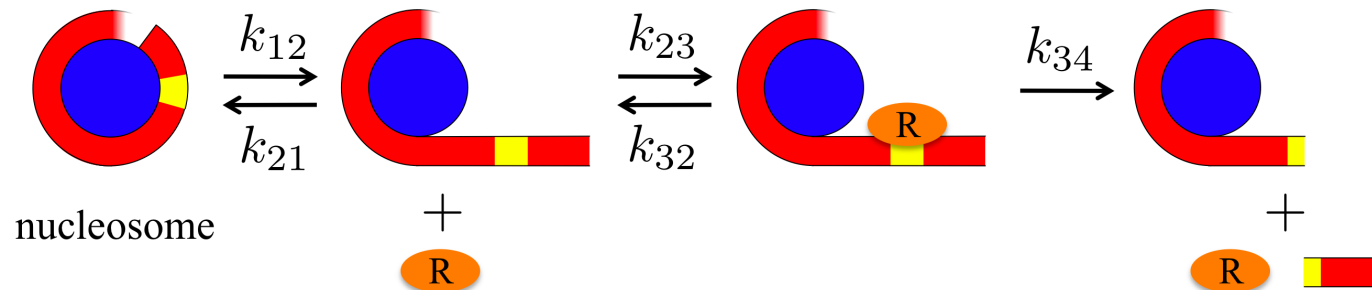


Fig. 3.



Nucleosome breathing

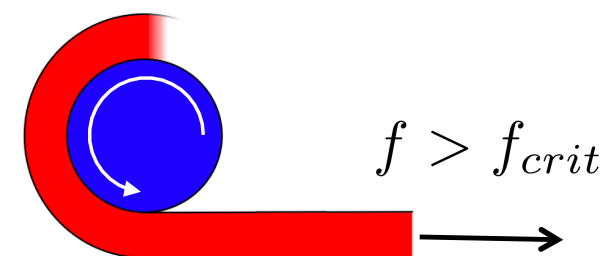
Polach & Widom, J. Mol. Biol. 254 (1995) 130



adsorption energy per length:

Prinsen & HS, Biochimie 92 (2010) 1722

$$f_{\text{crit}} \approx \frac{15k_B T}{50 \text{ nm}} = 1.2 pN$$



2

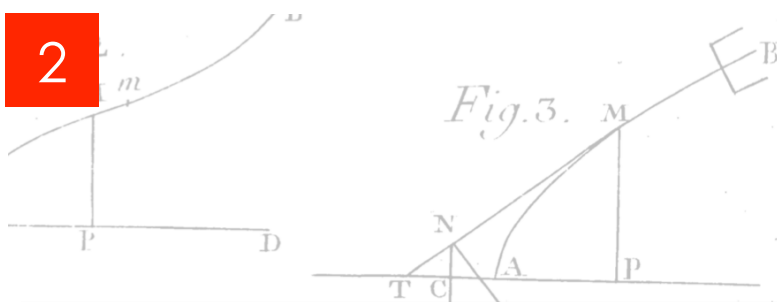


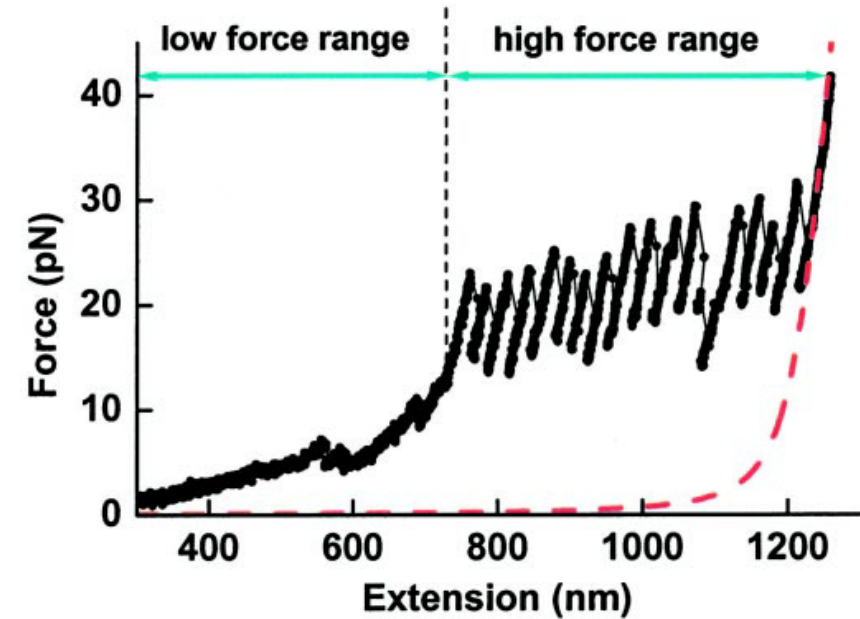
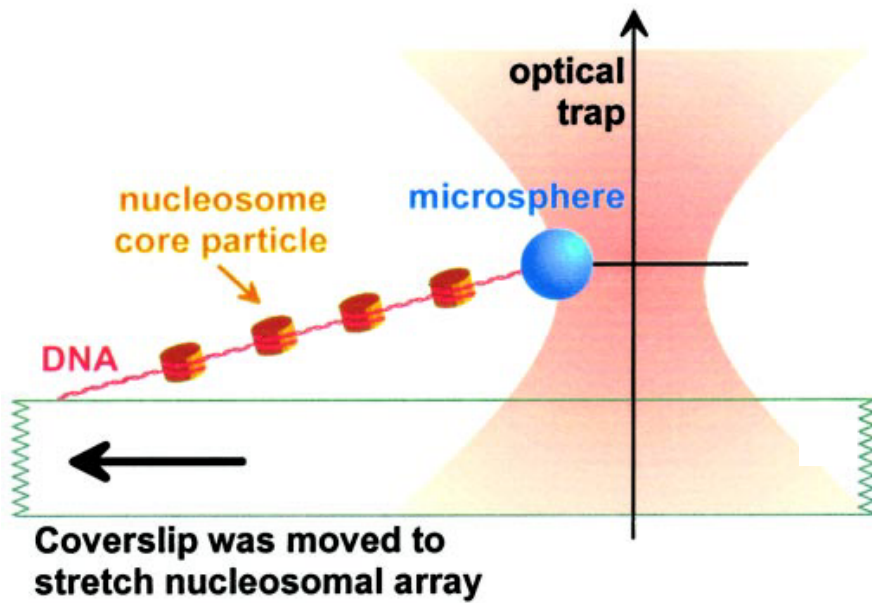
Fig. 3.

Fig. 8.

Force-induced unwrapping

Brower-Toland et al., PNAS 99 (2002) 1960

17 nucleosomes under tension:



But: $f_{\text{crit}} \approx \frac{15k_B T}{50\text{nm}} = 1.2pN$

2

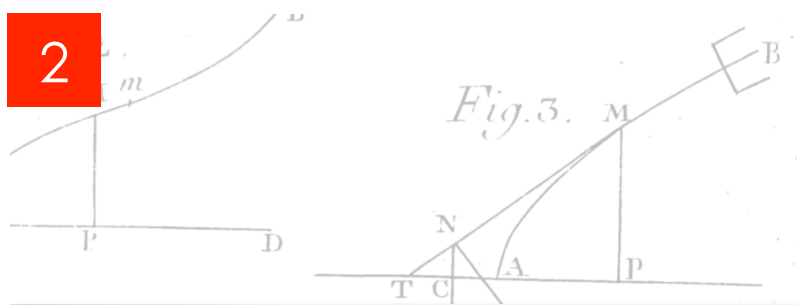
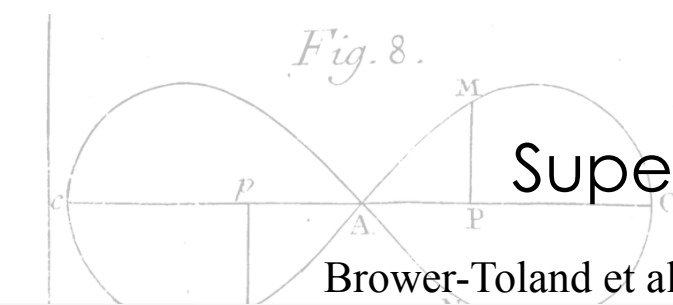


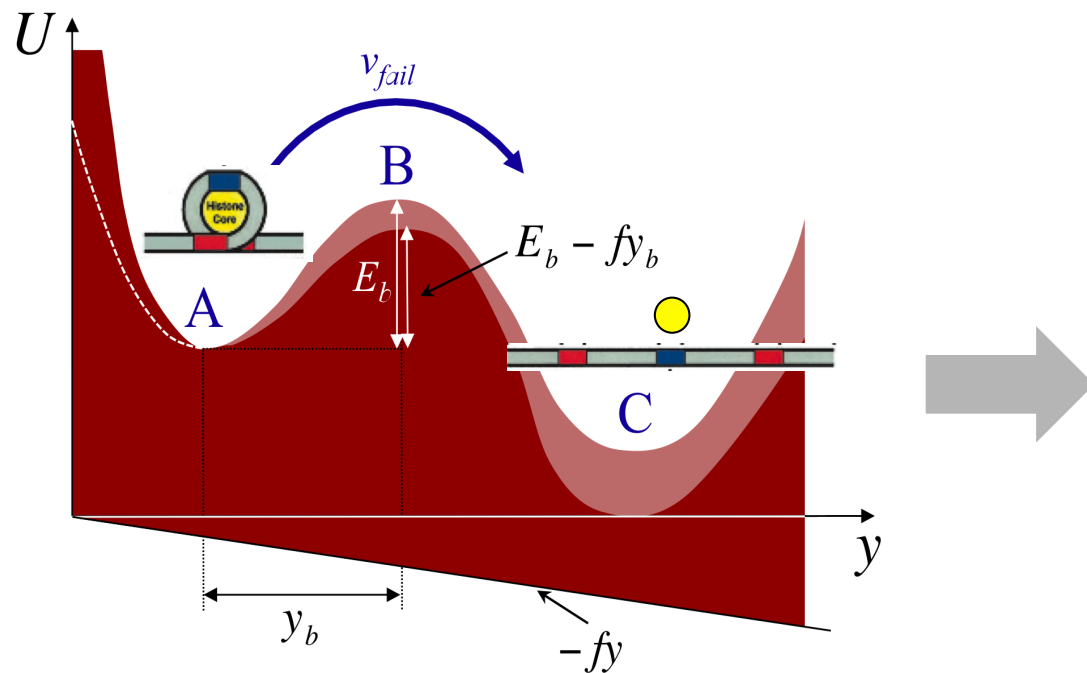
Fig. 3.

Fig. 8.

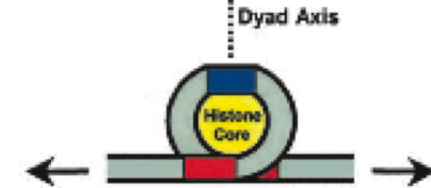
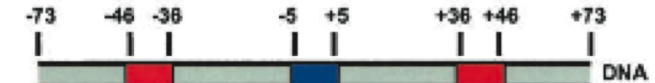


Super binding sites

Brower-Toland et al., PNAS 99 (2002) 1960



$$E_b \approx 35k_B T$$

But: $E_{complex} \approx 15k_B T$

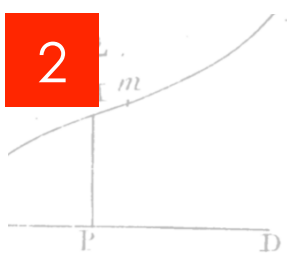


Fig. 3.

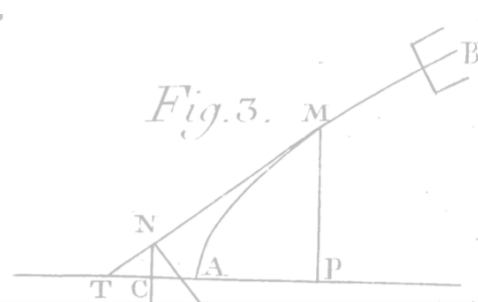
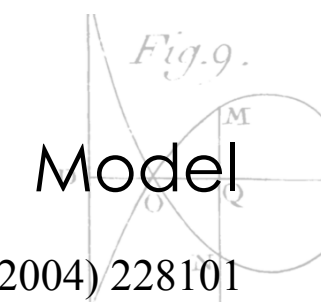
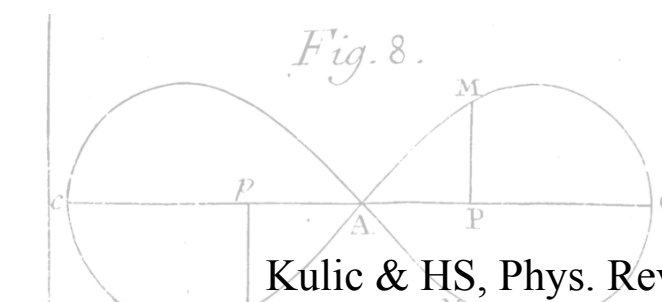
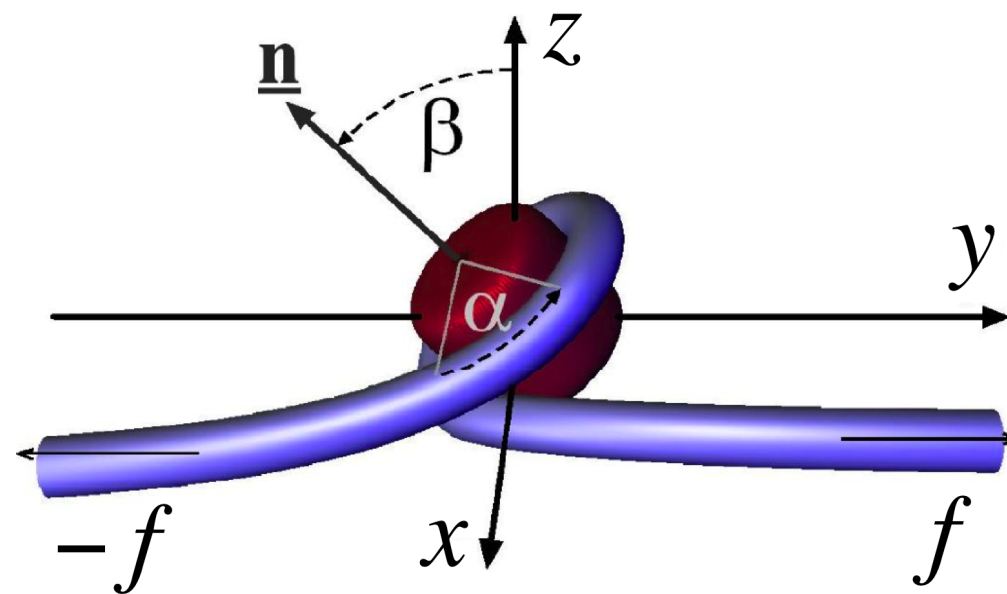
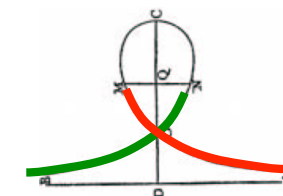


Fig. 8.



Model

Kulic & HS, Phys. Rev. Lett. **92** (2004) 228101 α : unwrapping angle β : tilting angle

total energy:

$$E_{\text{tot}} = \underbrace{\frac{A}{2} \int_0^L ds \left(\frac{1}{R(s)} \right)^2}_{\text{DNA bending}} - \underbrace{f L_{EE}}_{\text{external force}} + \underbrace{2R_0 f_{\text{crit}} \alpha}_{\text{DNA adsorption}}$$

2

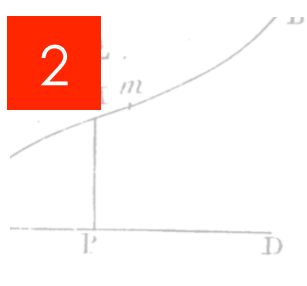


Fig. 3.

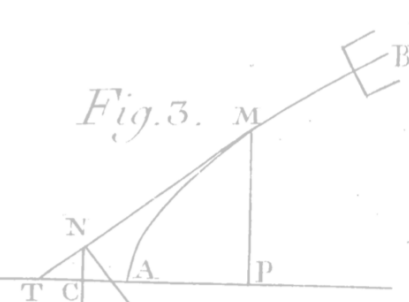
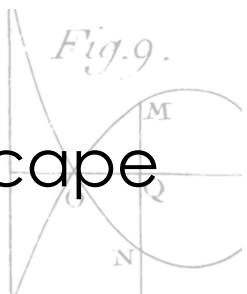
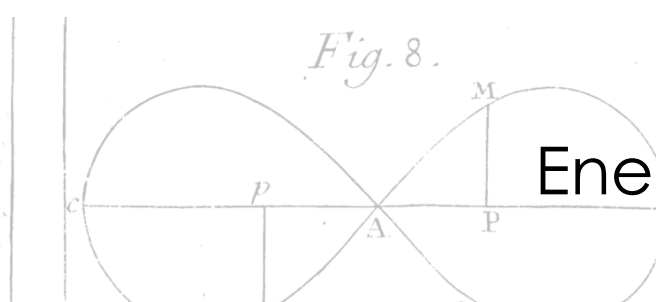
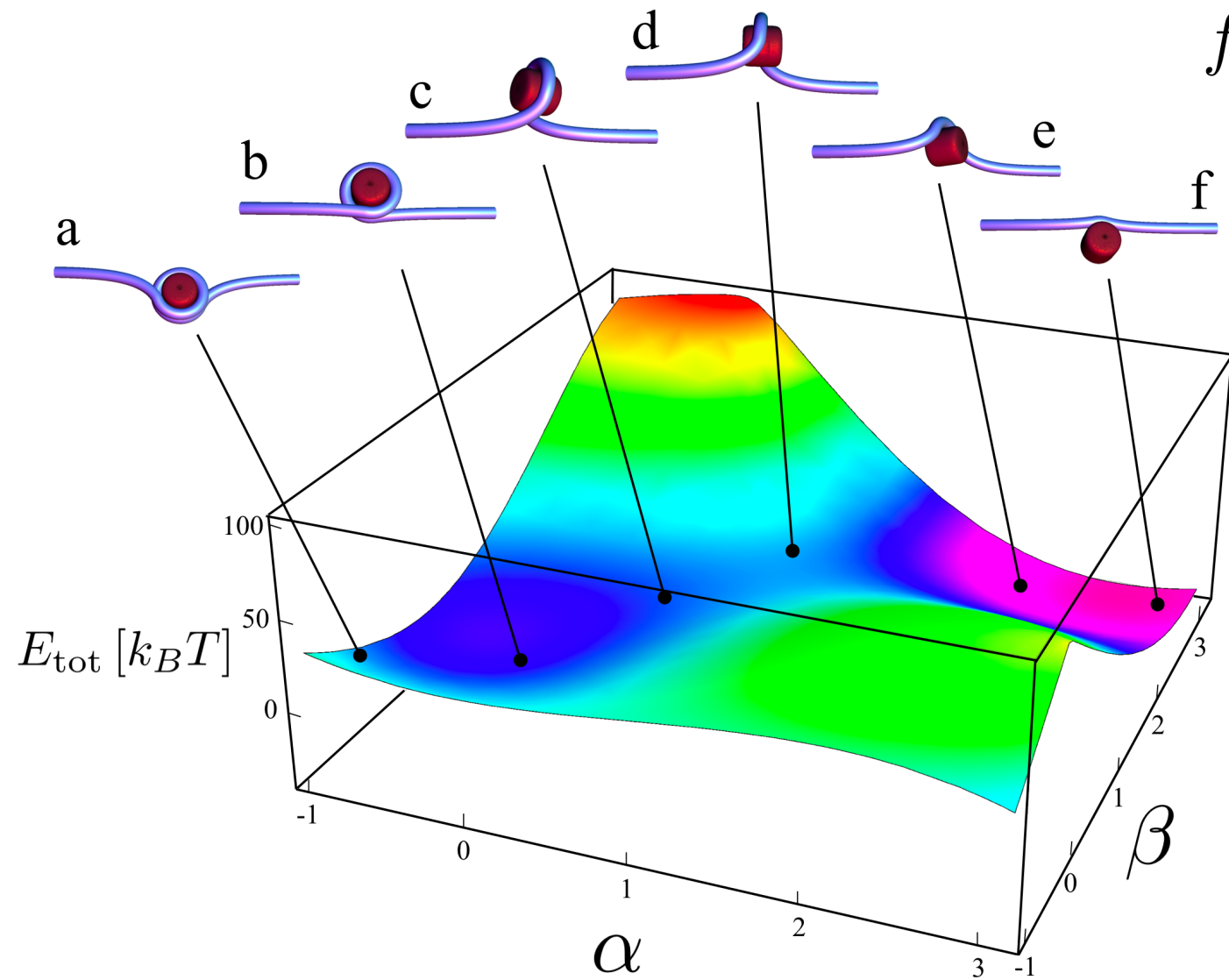


Fig. 8.



Energy landscape

$$f = 14pN$$



2

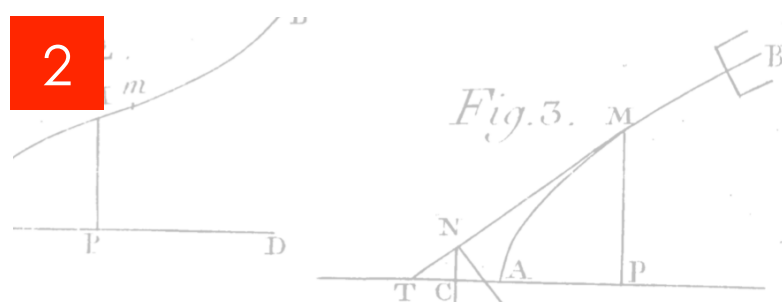


Fig. 3. M

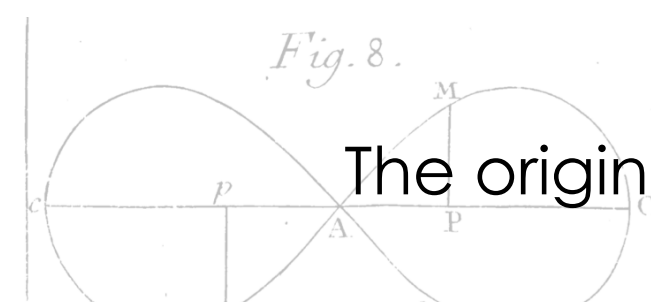


Fig. 8

The origin of the barrier

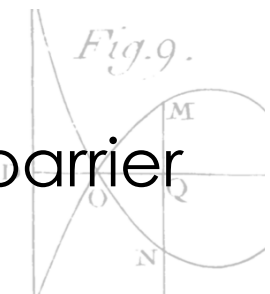
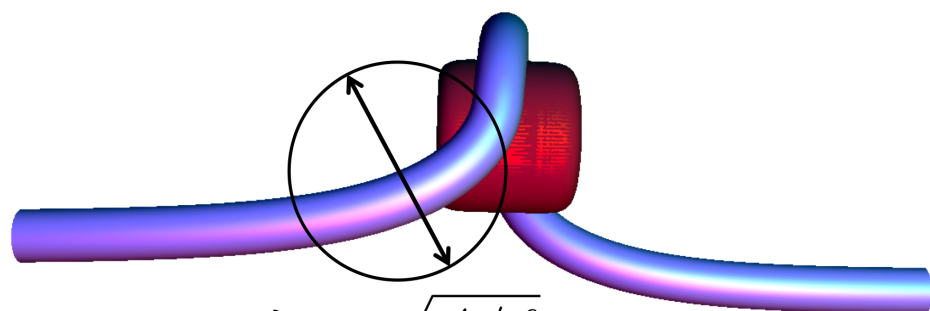
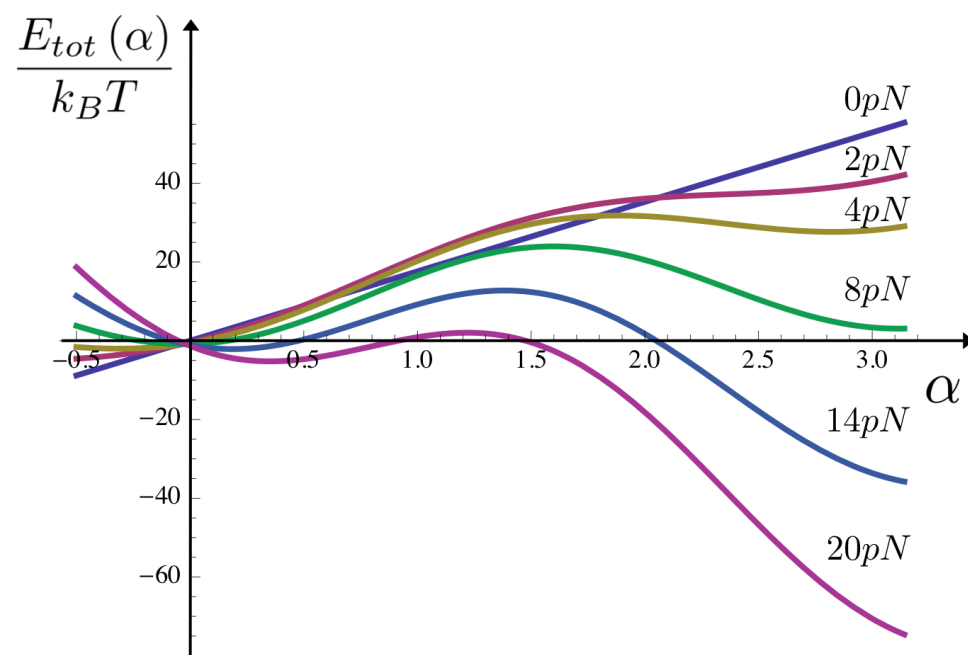


Fig. 9.

$$E_{\text{tot}}(\alpha) \approx 2R_0(f_{\text{crit}} - f)\alpha - \frac{2}{\sqrt{3}}\sqrt{Af}\cos 2\alpha$$



$$\lambda = \sqrt{A/f}$$

$$E_b \approx \frac{A\lambda}{\lambda^2} = \sqrt{Af}$$

2

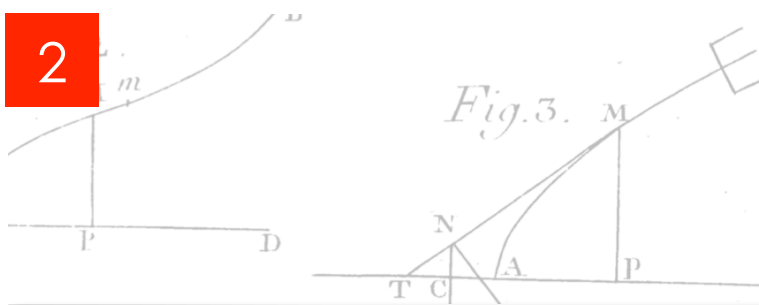


Fig. 3.

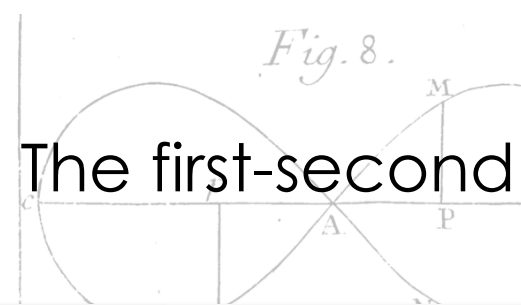


Fig. 8.

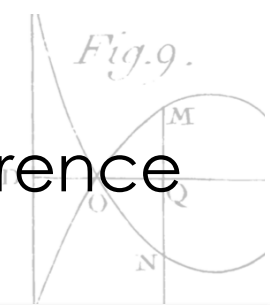
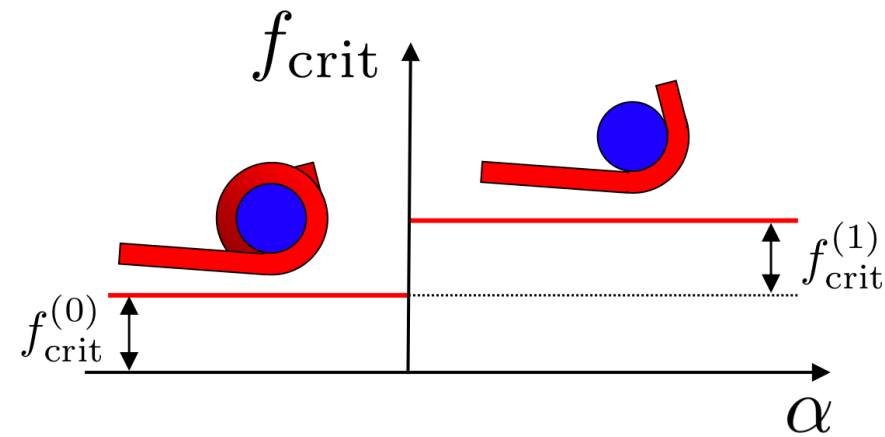
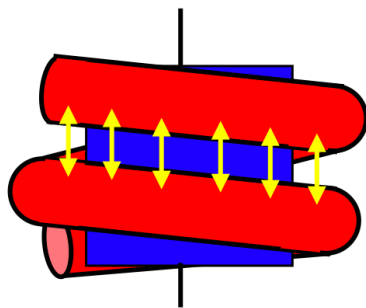
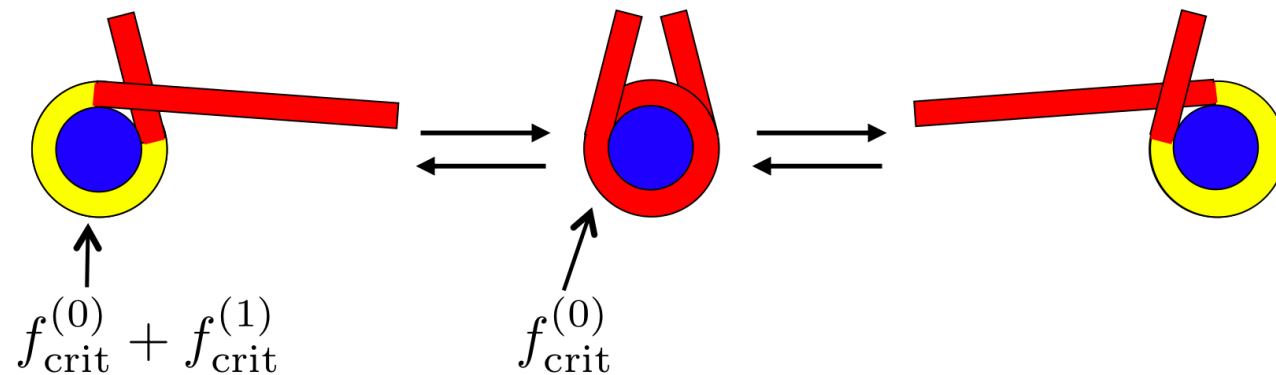


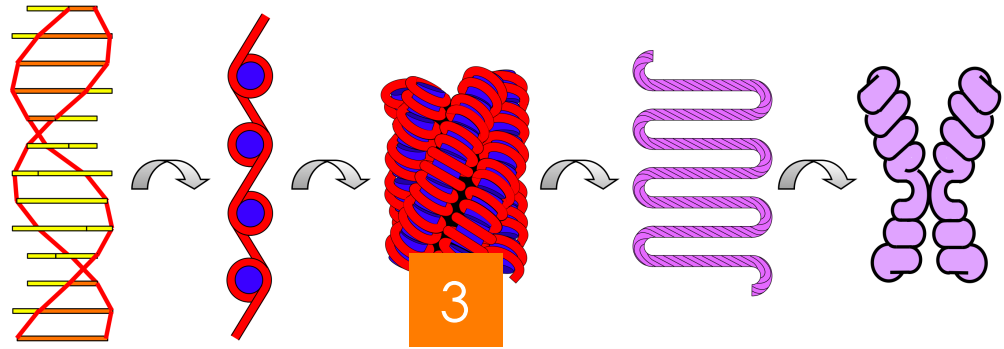
Fig. 9.

The first-second round difference

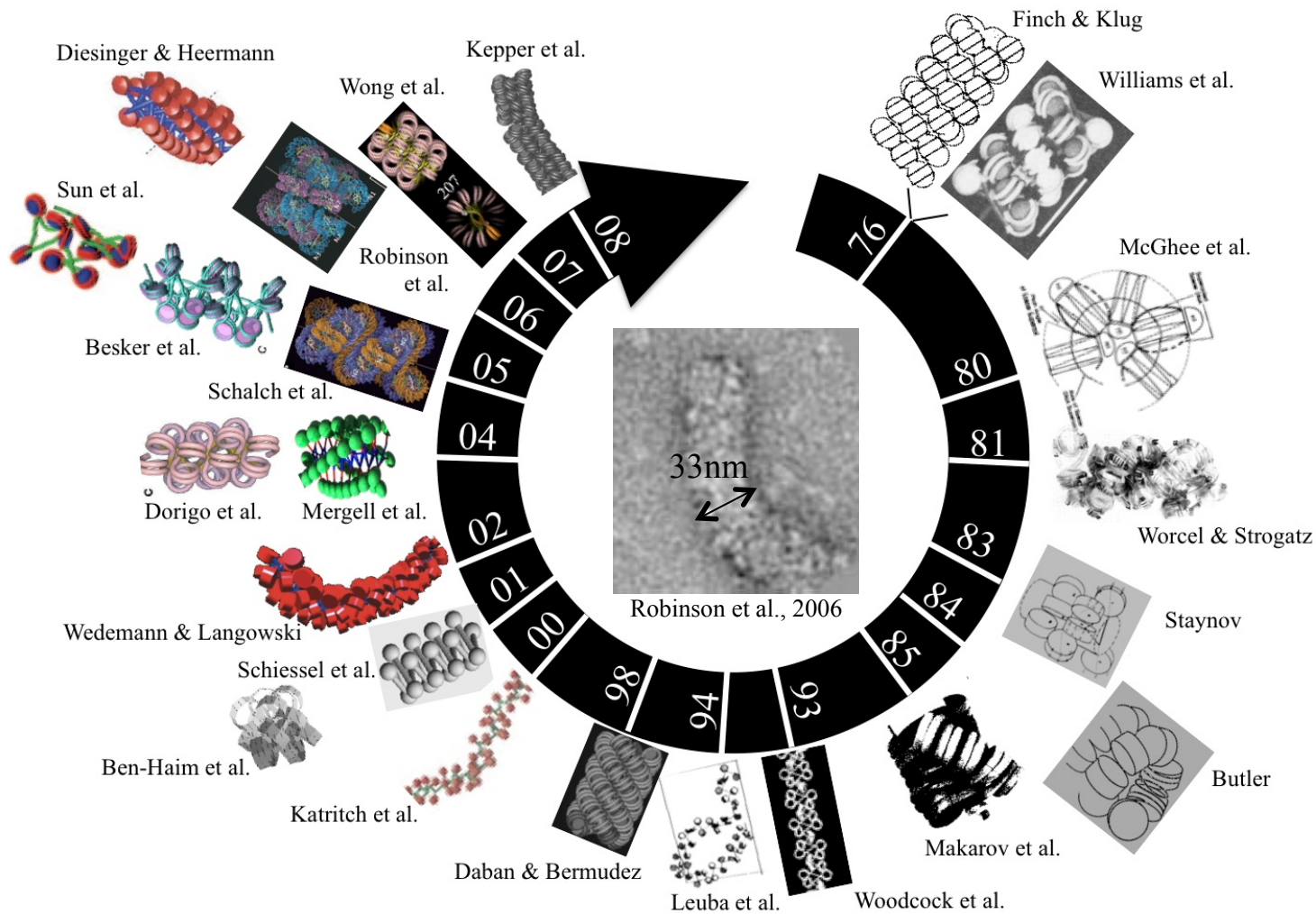


Two turn design combines accessibility and stability:





Chromatin fiber timeline



3

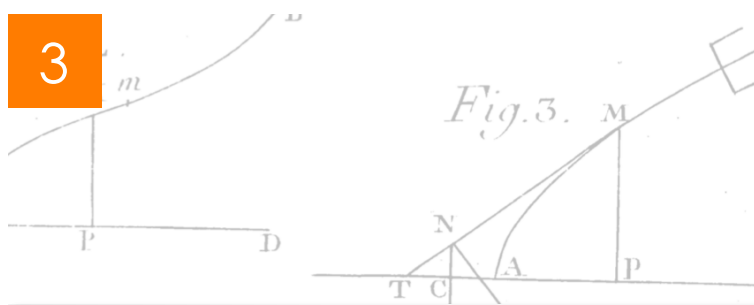
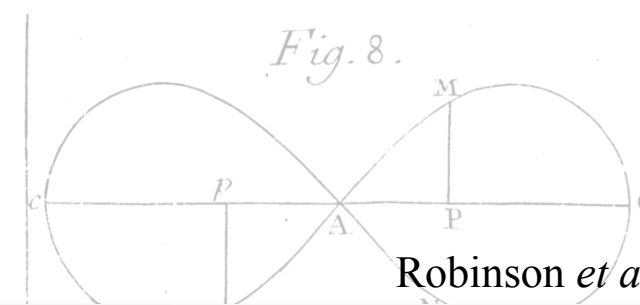


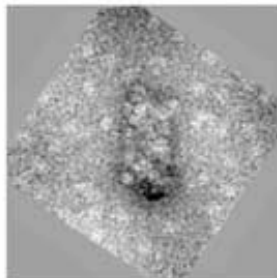
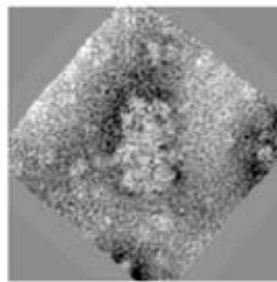
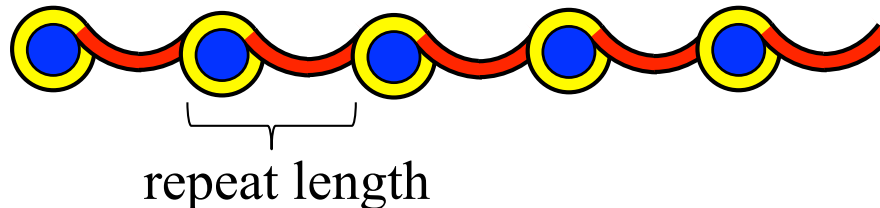
Fig. 3.

Fig. 8.

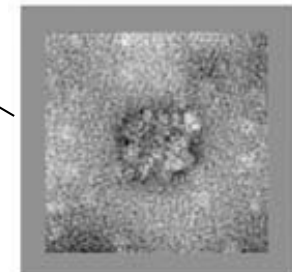
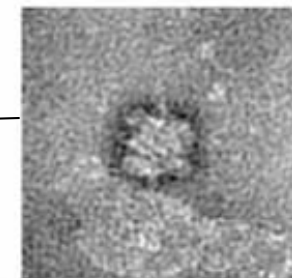
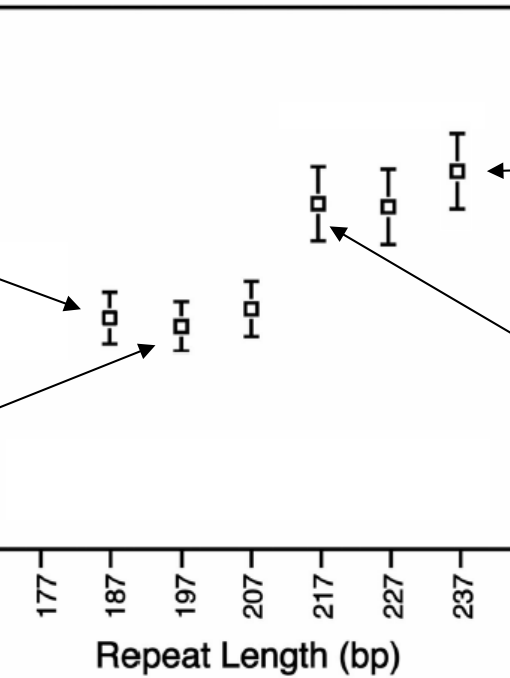
Robinson *et al.*, PNAS 17 (2006) 6506

Ideal fibers

long arrays of 50 to 70 nucleosomes:



Fiber diameter (nm)



3

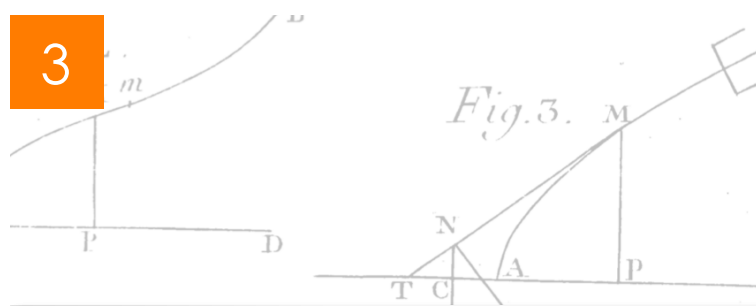


Fig. 3.

Fig. 8.

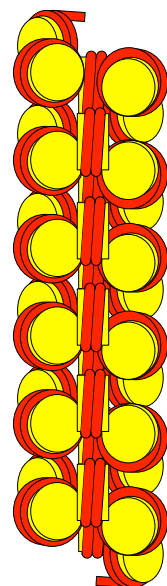
Bent vs. straight linkers



Fig. 9.

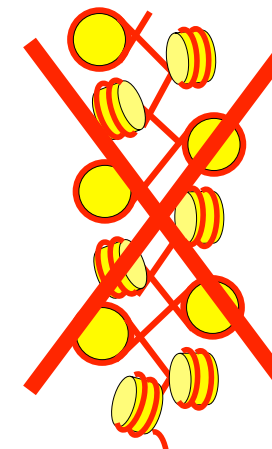
Alberts et al. "Molecular Biology of the Cell":

1994



solenoid model

2002



crossed-linker model

3

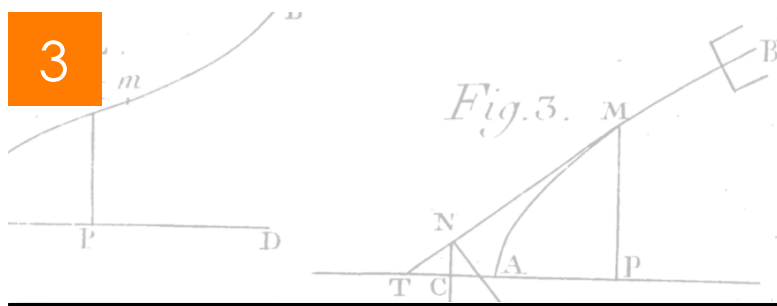
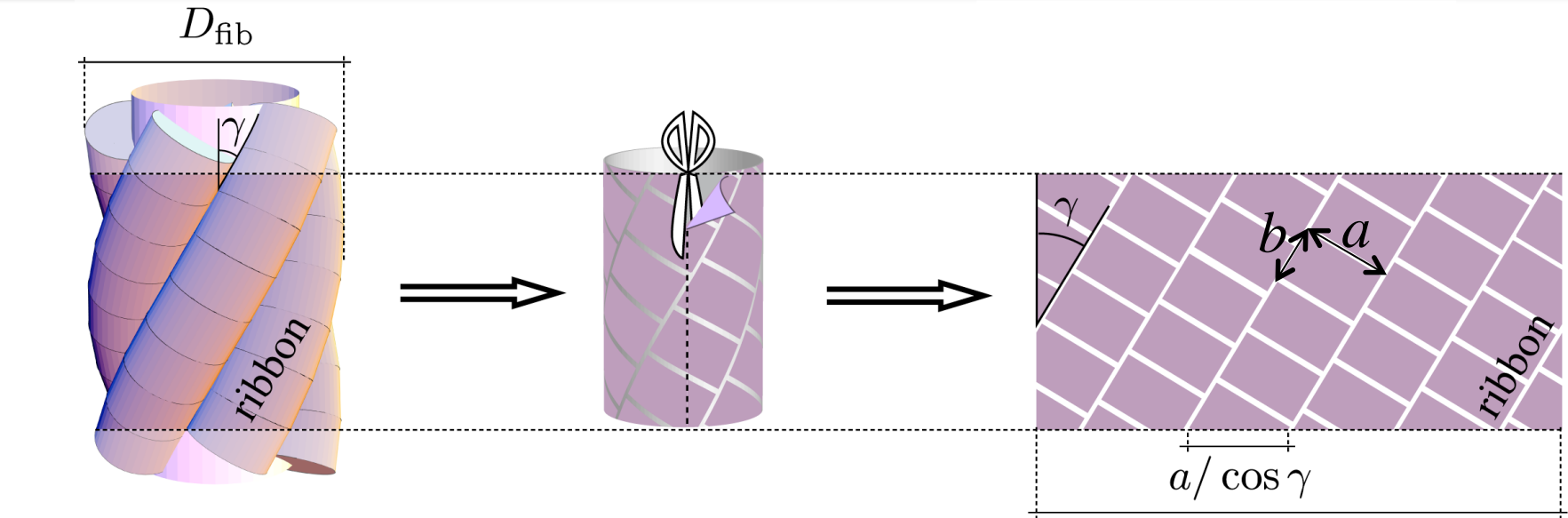


Fig. 3.

Fig. 8.

Dense packing of nucleosomes

M. Depken & HS, Biophys. J. 96 (2009) 777

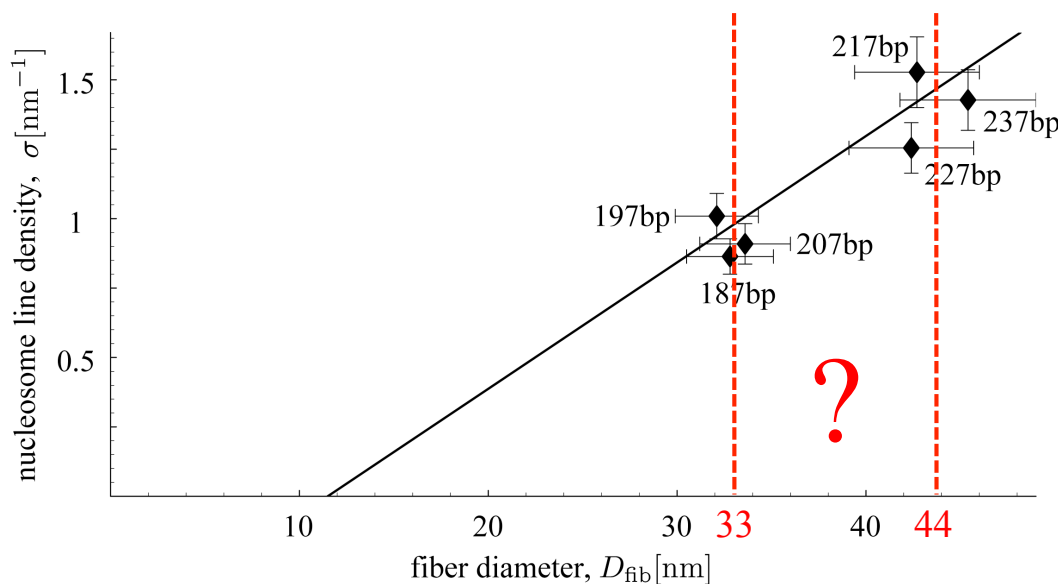


$$\pi(D_{\text{fib}} - a)$$

dense packing:

$$\sigma = \frac{\pi (D_{\text{fib}} - a)}{ab}$$

nucleosome line density



3

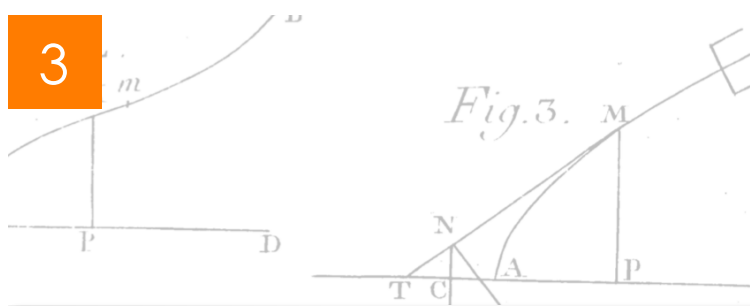
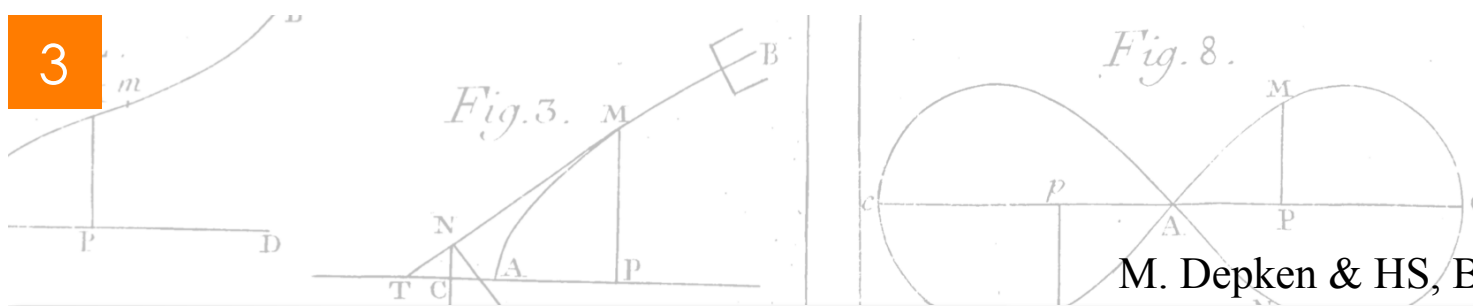


Fig. 3.

Fig. 8.

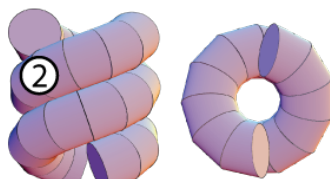
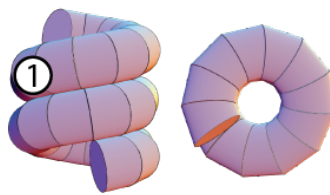


M. Depken & HS, Biophys. J. 96 (2009) 777

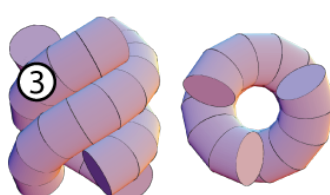
Fig. 9.

Splay angle

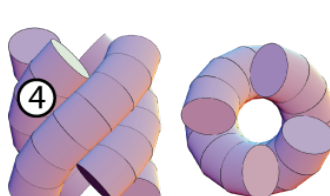
1976



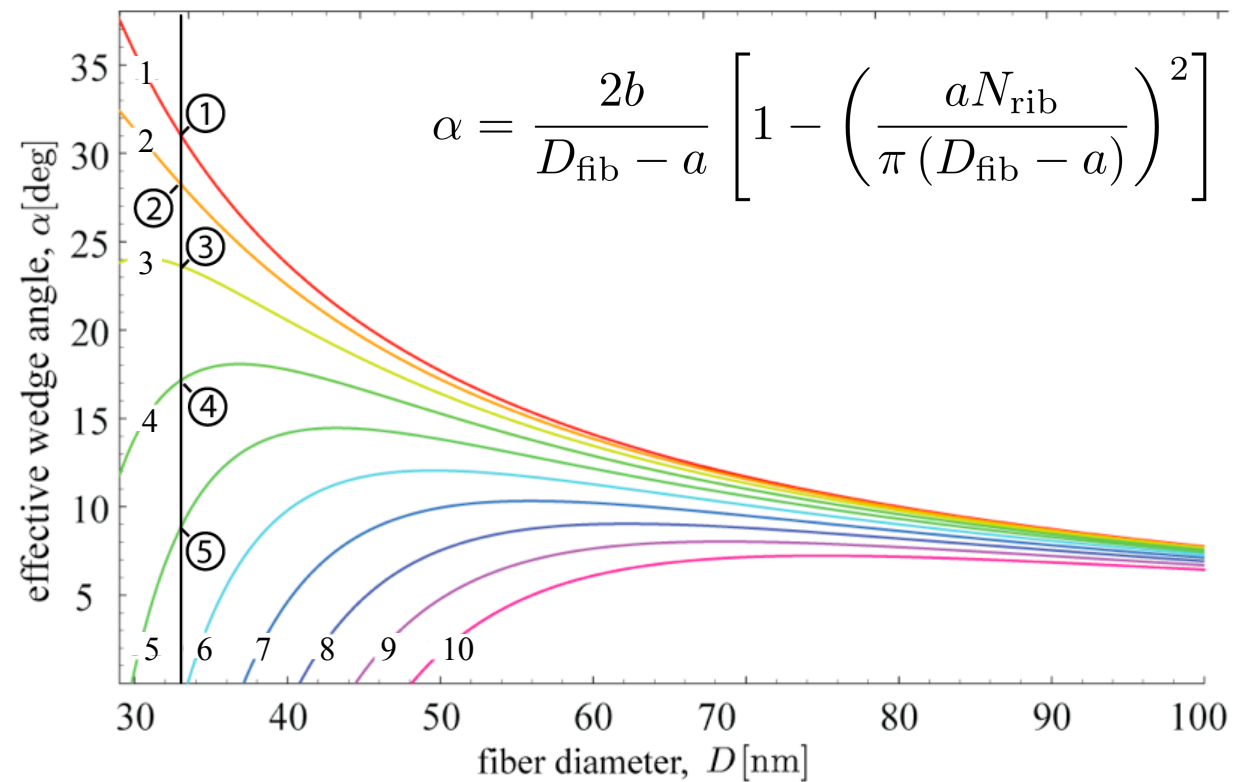
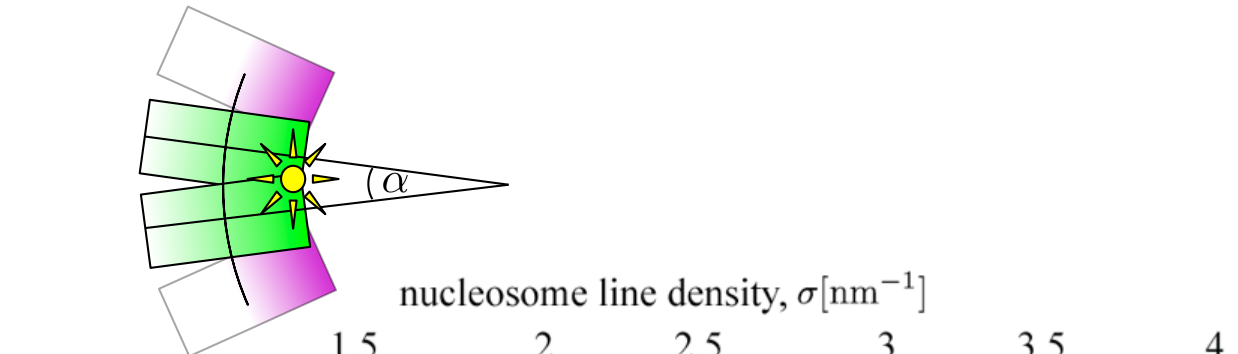
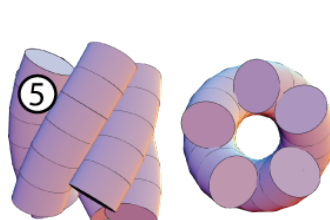
1985



1998



2007



3

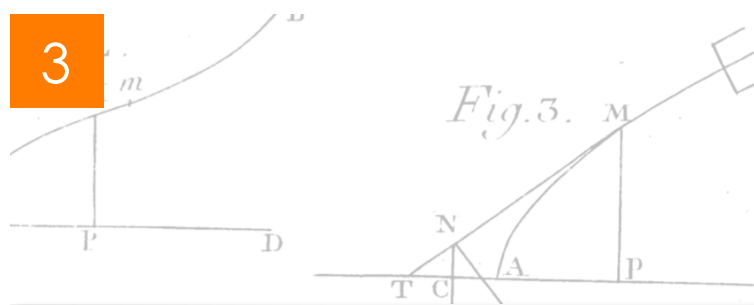
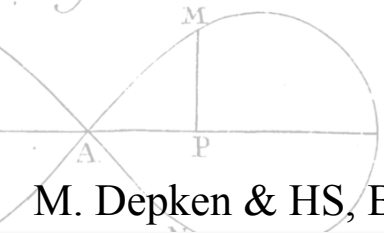


Fig. 3.

Fig. 8.

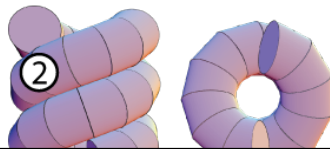
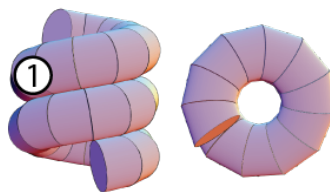


M. Depken & HS, Biophys. J. 96 (2009) 777

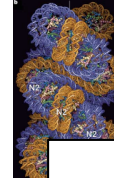
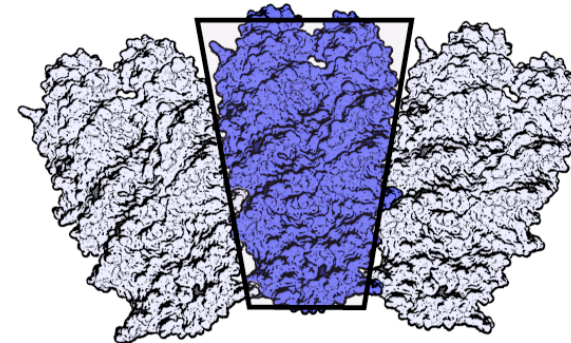
Fig. 9.

Splay angle

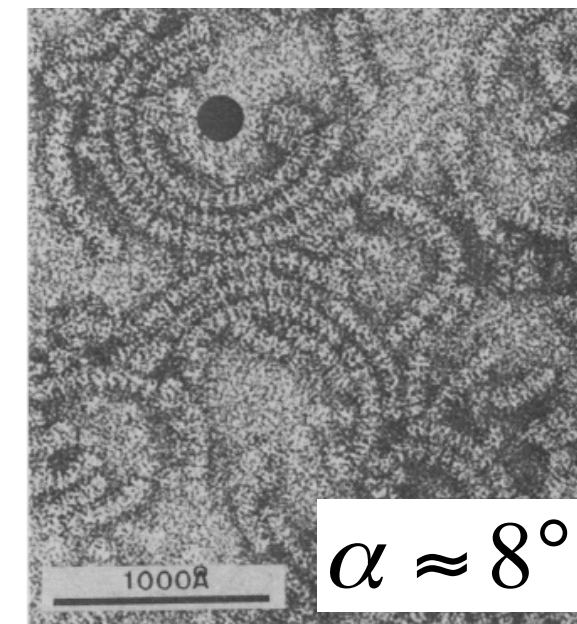
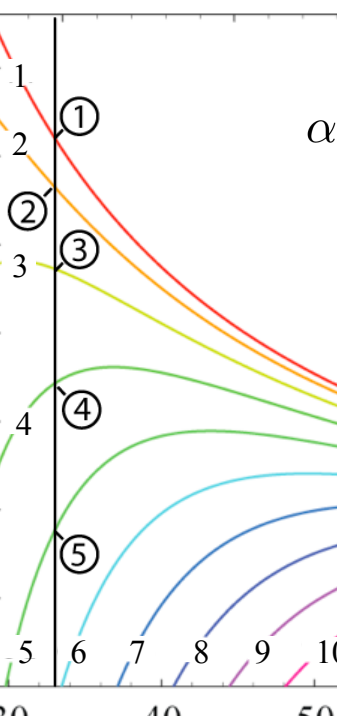
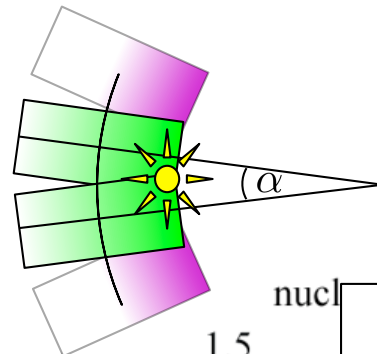
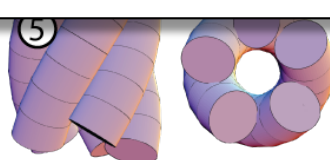
1976



2005

1
1
1
2

crystal structure
Luger et al., Nature (1997)



$$\alpha \approx 8^\circ$$

nucleosome arcs
Dubochet & Noll, Science (1978)

fiber diameter, D [nm]

3

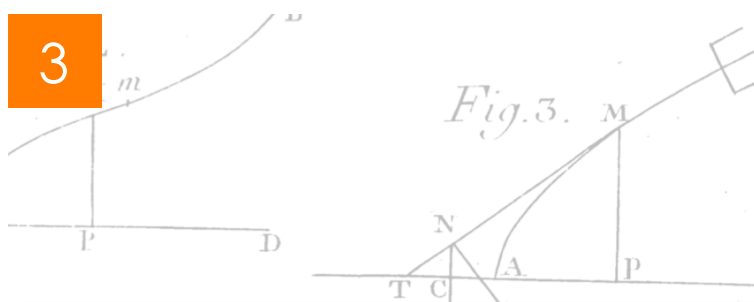


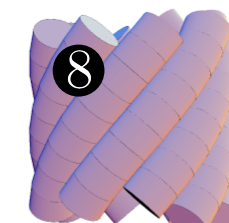
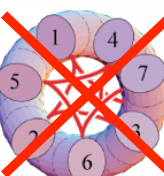
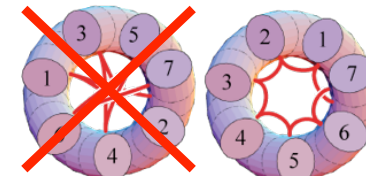
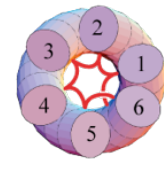
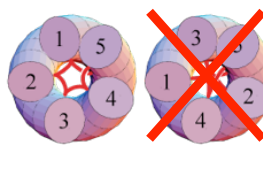
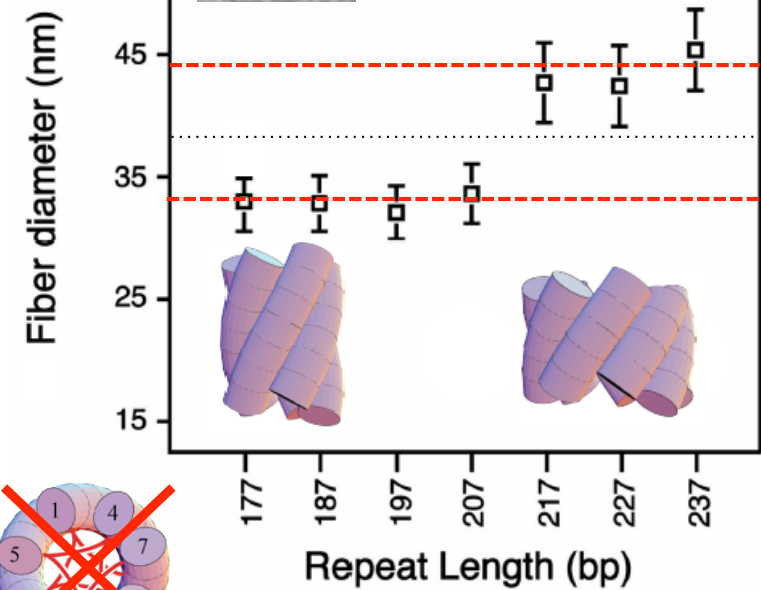
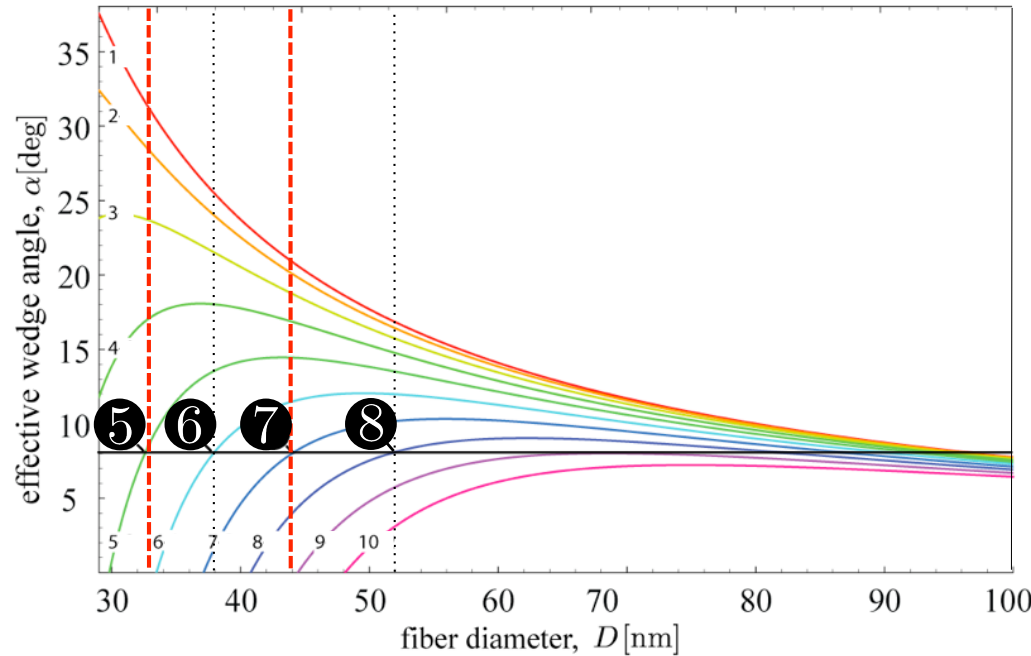
Fig. 3.

Fig. 8.

Magical nucleosome shells

M. Depken & HS, Biophys. J. 96 (2009) 777

Fig. 9.



3

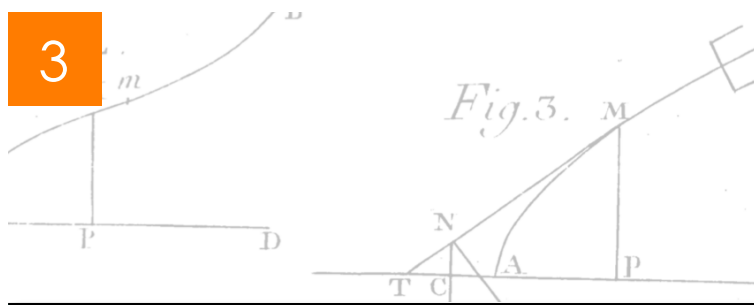
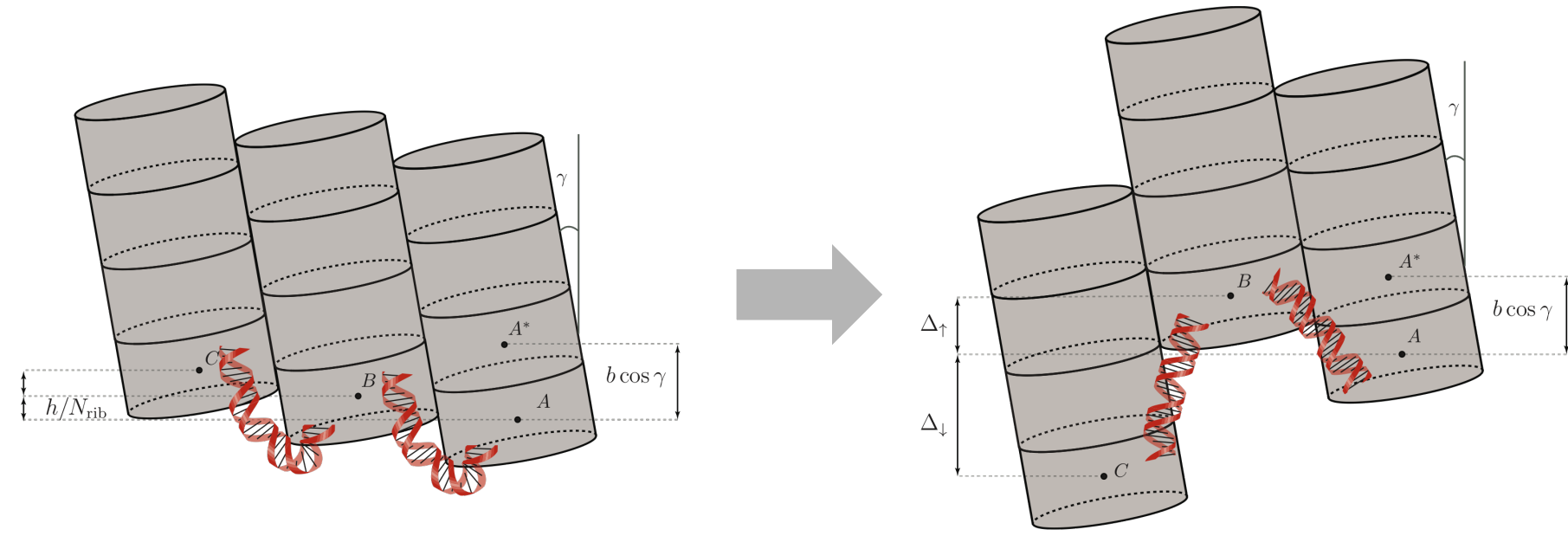
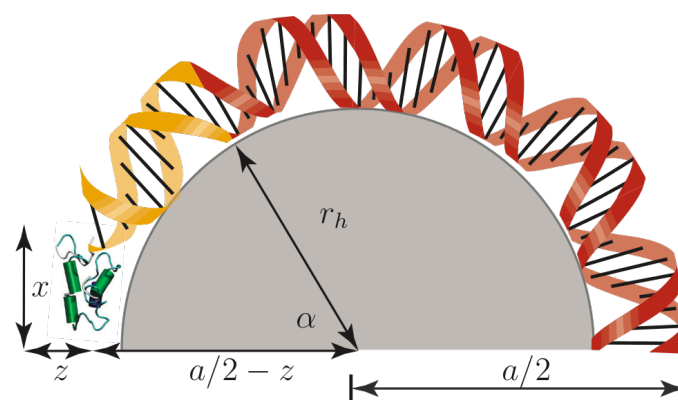


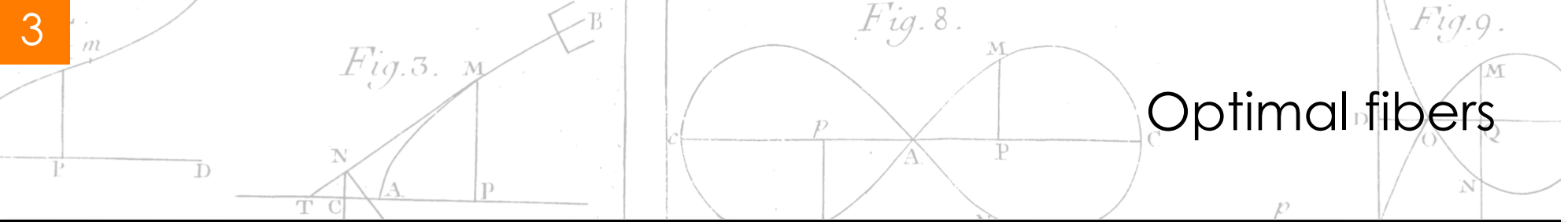
Fig. 3.

Fig. 8.

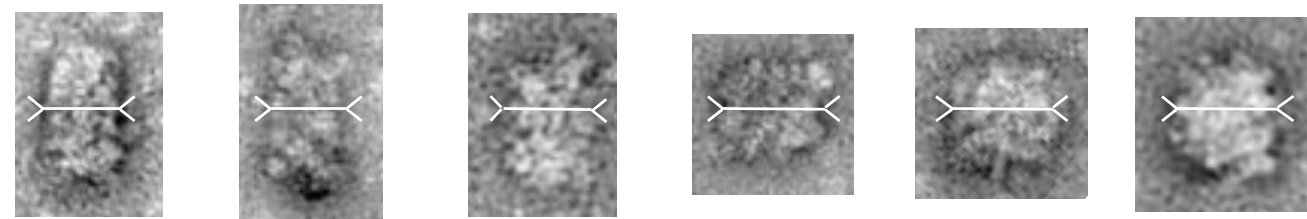
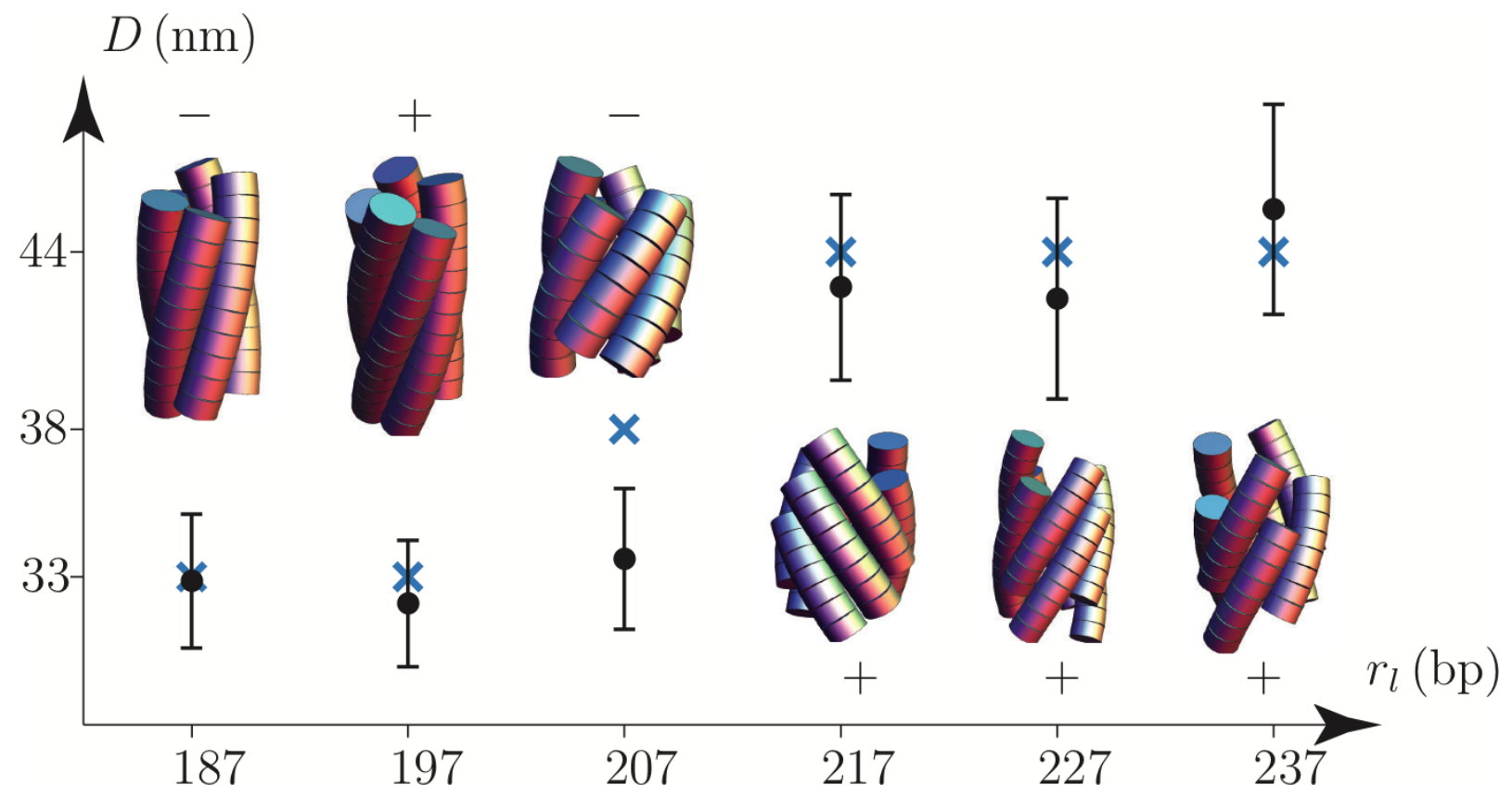
Sliding ribbons out-of-register

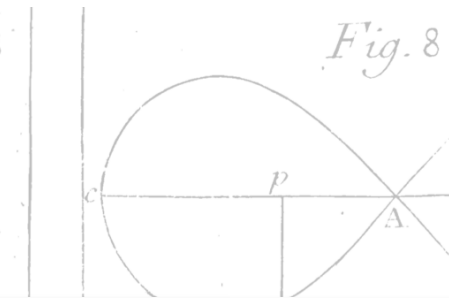
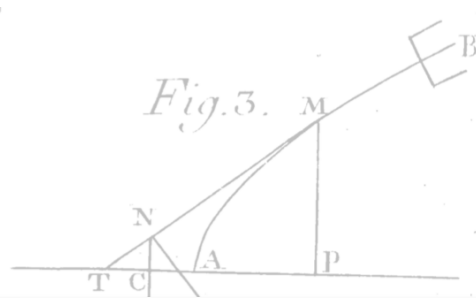
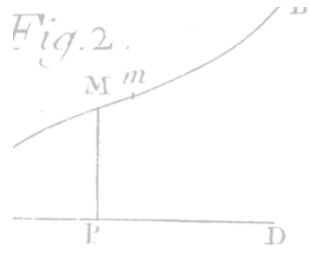
G. Lanzani & HS, submitted

 $\approx 40k_B T$ $\approx 1k_B T$ 

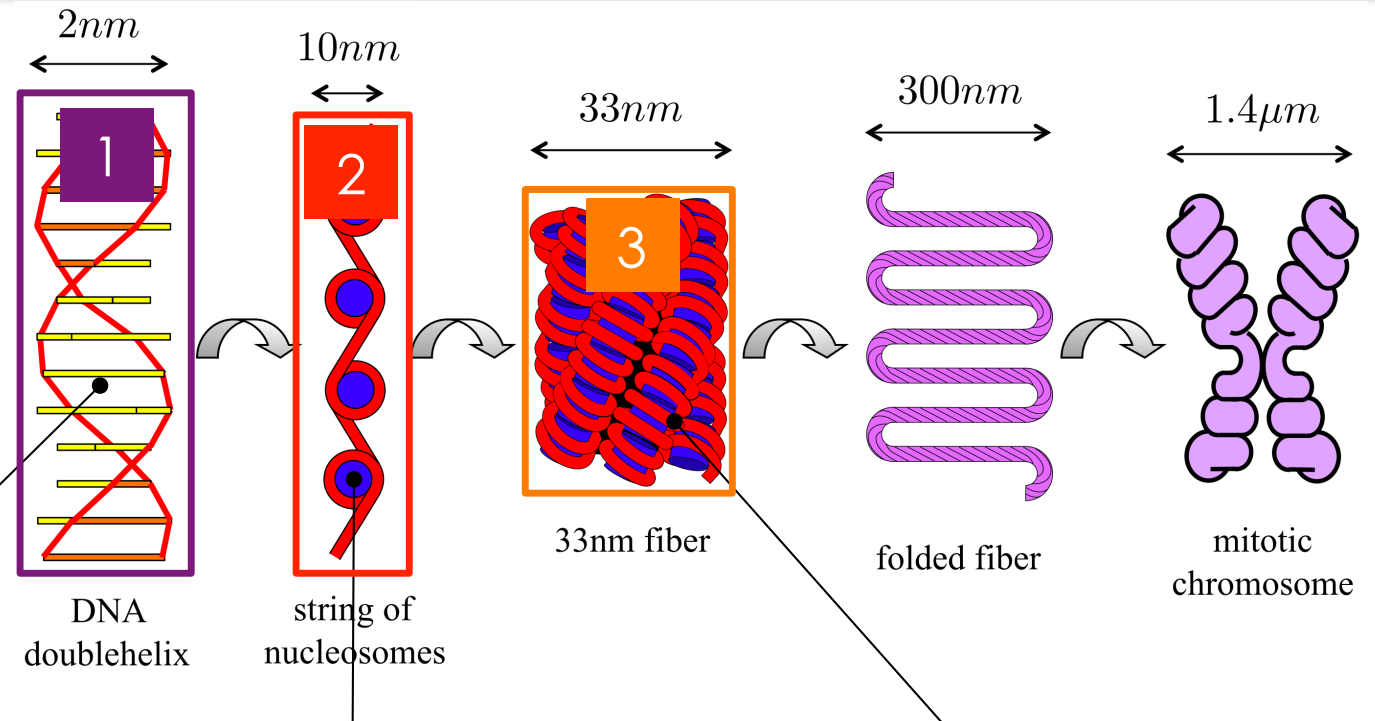


Optimal fibers





Acknowledgements



Marc Emanuel



Giovanni Lanzani



Igor Kulić
ICS Strasbourg



Peter Prinsen



Giovanni Lanzani



Martin Depken
VU Amsterdam